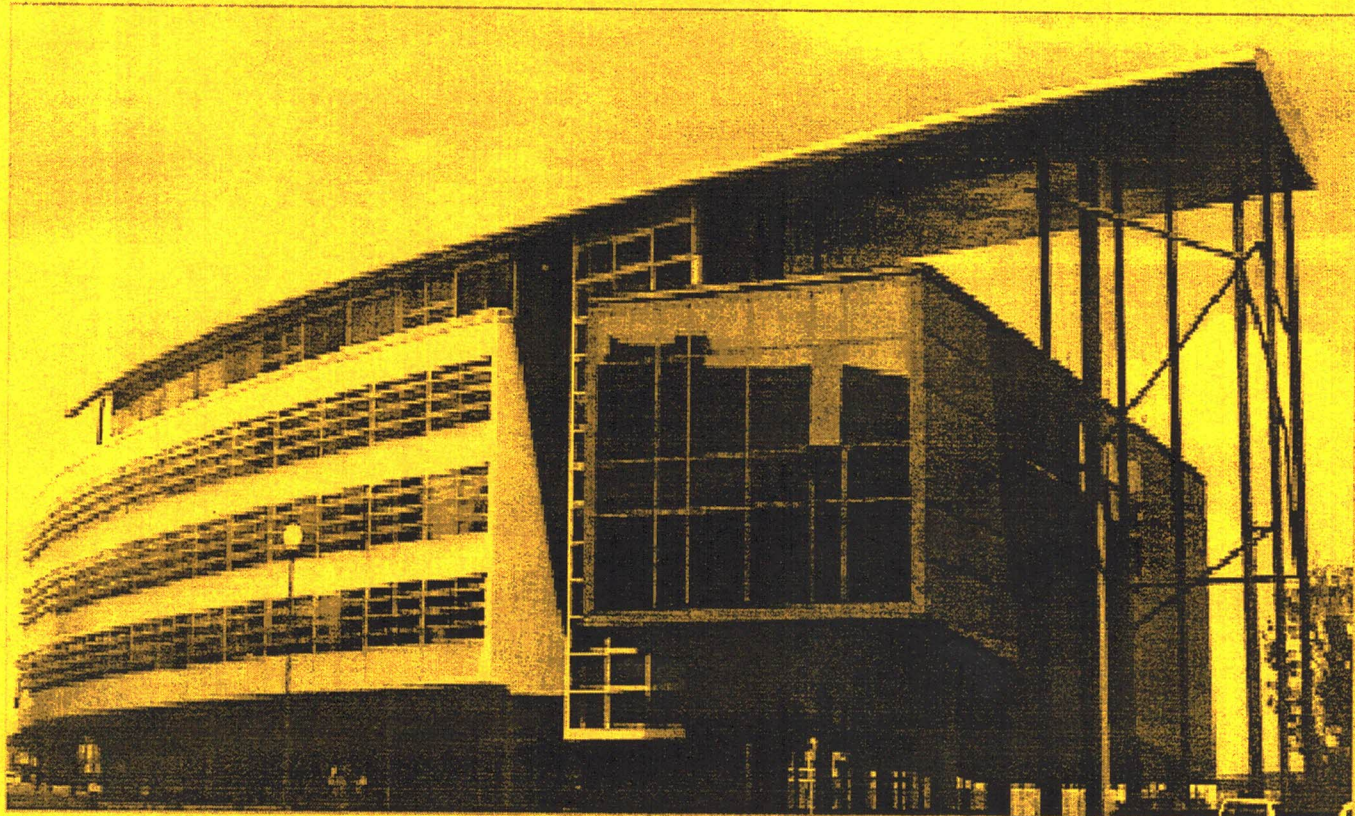


**DÉPARTEMENT DE MATHÉMATIQUES  
UNIVERSITÉ HENRI POINCARÉ - NANCY**



**Compléments d'analyse pour  
L'AGRÉGATION**

**Pierre RABOIN**

**N° 21**

**ANNÉE 2002-2003**

Compléments d'analyse pour  
l'agrégation

P. RABOIN.

N° 21.

Année 2002-2003.

# Compléments d'Analyse pour l'Agégation :

équations différentielles ordinaires à coefficients analytiques

1) La méthode itérative de PICARD s'applique au problème de CAUCHY

$$(PC) \begin{cases} \dot{x} = f(x) \\ x(0) = x_0 \end{cases}$$

où  $f$  est une fonction holomorphe sur l'ouvert  $\Omega$  du plan complexe (suppé contenant l'origine) et où  $x_0$  est un nombre complexe, pour en trouver l'unique solution locale : il s'agit de trouver la solution de l'Equation Intégrale

$$(EI) \quad x(t) = x_0 + \int_0^t f(x(u)) du$$

où l'intégrale est prise, pour  $|t|$  assez petit, le long du rayon  $\vec{Ox}$  autrement dit de trouver le point fixe de l'application en  $x$  définie par le membre de droite, en considérant la suite énumérée

$$\begin{cases} x_0(t) = x_0 \\ x_{n+1}(t) = x_0 + \int_0^t f(x_n(u)) du, \quad n \geq 0 \end{cases}$$

Selon l'estimation découlant de l'inégalité des accroissements finis

$$|x_{n+1} - x_n|(t) \leq C|t| \int_0^1 |x_n - x_{n-1}|(st) ds$$

où  $C$  majore  $|f'|$  sur le disque  $D(0; R)$  contenu dans  $\Omega$   
 et si  $z_{n-1}, z_n$  prennent leurs valeurs dans le même disque.

En partant de  $|z_1(t) - z_0| \leq M|t|$  où  $M$  majore  
 $|f|$  sur  $D(0; R)$ , multiplie par  $|t| < \frac{R}{M}$

$$|z_n - z_{n-1}|(t) \leq M C^{n-1} \frac{|t|^n}{n!}$$

en raisonnant récurrence sur  $n$ , ce qui assure la convergence  
 normale de la série de fonctions holomorphes  $\sum_{n \geq 0} (z_{n+1} - z_n)$

donc de la suite  $(z_n)$ , sur tout compact du disque  $|t| < \rho$   
 avec  $\rho = \frac{1}{C} \ln\left(1 + \frac{RC}{M}\right)$ , voir une fonction qui est holo-  
 -morphe sur le même disque selon un théorème de WEIERSTRASS et qui  
 est solution de l'Ei selon un passage à la limite élabo-  
 -rée dans la relation de récurrence.

Les mêmes estimations établissent l'unicité de la solution ainsi  
 obtenue au PC: c'est le théorème de PICARD-LINDELÖF.

2) La méthode d'identification de NEWTON de résolution au PC

où  $f$  est donc analytique sur le disque  $D(0; R)$  conduit  
 au même résultat selon le calcul des limites de CAUCHY:

4  
3  
- dans un premier temps, on cherche une solution série formelle

$$x(t) = \sum_0^{\infty} z_n t^n$$

où, par conséquent  $z_0$  est donné, et où on commence

$$z_1 = \dot{x}(0) = f(z_0)$$

$$z_2 = \frac{1}{2!} \ddot{x}(0) = \frac{1}{2!} \left. \frac{d}{dt} \right|_{t=0} f(x(t)) = \frac{1}{2!} f'(z_0) z_1$$

et, plus généralement  $z_{n+1}$  apparaît comme une fonction polynômiale

$$P_{n+1}(z_0, z_1, \dots, z_n, f(z_0), f'(z_0), \dots, f^{(n)}(z_0))$$

à coefficients positifs.

- comme, voir les inégalités de CAUCHY

$$\frac{1}{n!} |f^{(n)}(z_0)| \leq \frac{M}{R^n}$$

si l'on remplace  $f(x)$  par  $\frac{M}{1 - \frac{x-z_0}{R}}$  la solution série formelle

des PC majorant

$$\begin{cases} \dot{x} = \frac{M}{1 - \frac{x-z_0}{R}} \\ x(0) = z_0 \end{cases} \text{ qui a une solution nulle par la suite}$$

va donner  $x$  dans le sens où pour chaque  $n$ , on a  $n^2$  coefficient  
majoré celui de  $x$ .

- or, en séparant les variables, on obtient

$$\int_0^{x(t)} \left(1 - \frac{x}{R}\right) dx = Mt$$

qui donne  $x(t)$  comme racine du trinôme  $x^2 - 2Rx + 2MRT$

soit  $x(t) = R - \sqrt{R^2 - 2MRT}$  qui définit (en prenant

pour le radical la détermination principale liée à la coupure  $(-\infty, 0]$

une fonction holomorphe sur le disque  $|t| < \frac{R}{2M}$ .

En conclusion, le PC possède une unique solution analytique locale

3) Si  $A(t)$  est une application matricielle holomorphe sur le  
domaine simplement connexe  $D$ , le PC linéaire

$$\begin{cases} \dot{\vec{x}} = A \vec{x} \\ \vec{x}(0) = \vec{x}_0 \in \mathbb{C}^m \end{cases}$$

possède une unique solution analytique sur  $D$  en entier.

- Selon la méthode de 1), on convertit le PC sous l'EI

où l'intégrale est prise le long d'un chemin joignant 0 au

point courant (l'hypothèse de simple connexité est ici

essentielle) : en paramétrant ce chemin (de classe  $C^1$ ) selon

$u = \gamma(s) \approx s$  désigne l'abscisse curviligne, on a donc

$$x_{n+1}(t) = x_0 + \int_0^L A(\gamma(s)) \cdot x_n(\gamma(s)) \gamma'(s) ds$$

où  $L$  est la longueur de la courbe et, par suite

$$|x_1(\gamma(s)) - x_0| \leq \|A\|_K \cdot |x_0| \cdot s$$

à  $\|A\|_K$  majoré  $\|A\|$  sur un compact  $K$  de  $D$  contenant la courbe, puis

$$|x_2 - x_1|(\gamma(s)) \leq \|A\|_K^2 \cdot |x_0| \frac{s^2}{2}$$

et, en général

$$|x_{n+1} - x_n|(\gamma(s)) \leq |x_0| \frac{(\|A\|_K s)^n}{n!}$$

permettra de conclure.

Le point 2) assure l'existence d'une unique solution analytique

sur tout disque  $D(t_0, \frac{R_K}{2M_K})$  si  $t_0 \in K$  et où

$R_K$  désigne la distance de  $K$  au complémentaire de  $D$  dans  $\mathbb{C}$

on peut donc prolonger la solution locale obtenue en 2) analytiquement le long de la courbe  $\mathcal{C}$  joignant l'origine au point courant, selon le procédé de WEIERSTRASS qui consiste

à recouvrir  $\mathcal{C}$  à l'aide de  $N$  disques  $D_j = D(t_j, \frac{R_j}{2M_j})$   
 où  $t_j \in D_{j-1}$ ,  $j=1, \dots, N$  pour obtenir la solution globale en résolvant successivement les (PC) $_j$   $\begin{cases} \dot{x} = Ax \\ x(t_j) = x_{j-1}(t_j) \end{cases}$ .

4) Par exemple, la solution générale de l'EDO scalaire linéaire d'ordre 2

$$\ddot{x} + p\dot{x} + qx = 0$$

où  $p$  et  $q$  ont des fractions rationnelles, est localement analytique en dehors de pôles.

- Ainsi l'EDO de LEGENDRE d'indice  $n$  entier positif

$$(L_n) \quad (1-t^2) \ddot{x} - 2t \dot{x} + n(n+1)x = 0$$

présente en particulier comme solution le nième polynôme de LEGENDRE

$$P_n(t) = \frac{1}{2^n n!} \left( (t^2-1)^n \right)^{(n)}$$

normalisé par la condition  $P_n(1) = 1$ , et sur lequel on peut s'appuyer pour trouver la solution générale  $x$  avec le théorème de LIOUVILLE



qui donne un wronkien proportionnel à  $\frac{1}{1-t^2}$ , d'où que

$$\frac{z}{P_n}(t) = \int \frac{du}{(1-u^2)P_n^2(u)}$$

Sachant que  $\{P_n\}_{n \geq 0}$  est la suite de polynômes orthogonaux sur  $(-1, 1)$  par le mesure de LEBESGUE, les zéros de  $P_n$  ont 2 à 2 distincts dans l'intervalle  $] -1, 1[$  et, en les désignant par  $(t_j)_{j=1}^m$

la quadrature s'effectuera en décomposant  $\frac{1}{(1-u^2)P_n^2(u)}$  en éléments simples sous la forme

$$\frac{A}{1-u} + \frac{B}{1+u} + \sum_{j=1}^m \frac{A_j}{(u-t_j)^2}$$

ce, selon 3) il ne saurait y avoir de singularité de branchement aux points  $t_j$ .

On obtient facilement

$$z(t) = a \cdot P_n(t) + b \cdot Q_n(t) \quad \text{avec } a, b \text{ complexes et}$$

$$Q_n(t) = \frac{1}{2} P_n(t) \ln \frac{1+t}{1-t} - U_{n-1}(t)$$

avec  $U_{n-1}$  polynôme de degré  $(n-1)$ , est la fonction d'HEISENBERG de

seconde copie. la fonction  $\ln \frac{1+t}{1-t}$  peut être définie comme  
 la composition de la détermination principale du logarithme pour  
 la coupure  $(-\infty, 0]$  avec la fonction homographique, qui correspond  
 dans le plan  $\mathbb{C}_t$  à la coupure  $]-\infty, -i] \cup [i, +\infty[$  (donnant  
 un ouvert simplement connexe) : elle fait apparaître les  
 pôles  $\pm 1$  des coefficients  $p$  et  $q$  comme singularités de  
 branchement de la solution générale de l'EDO.

- De même, pour l'EDO de BESSEL modifiée d'indice 0

$$(B_0) \quad t \ddot{x} + i - tx = 0$$

l'origine apparaît comme une singularité polaire des coefficients de  
 l'équation différentielle.

5) On aborde par conséquent le problème de l'EDO linéaire

$$\dot{\vec{x}} = A \vec{x}$$

où  $A$  est une application matricielle analytique sur un  
 disque ouvert centré en 0 mais privé de son centre.

- Selon la démarche déjà suivie en 3), il est alors possible  
 de prolonger la solution locale  $X_0$  du problème de CAUCHY

$$\begin{cases} \dot{X} = A \cdot X \\ X(t_0) = I \end{cases} \quad \text{où } t_0 \text{ est proche de } 0 \text{ mais non nul}$$

le long du cercle  $\partial D(0, |t_0|)$  selon le procédé de WEIERSTRASS au bout d'un tour, on obtient une solution  $X_1$  de l'EDO

$\dot{X} = A \cdot X$  qui va, en général, différer de la matrice fondamentale  $X_0$  au point  $t_0$  et on obtient une relation de la forme

$$X_1 = X_0 \cdot M$$

où la matrice constante inversible  $M$  est appelée matrice de monodromie de l'EDO.

- Si  $\vec{v}$  désigne un vecteur propre de  $M$ , associé à la valeur propre  $\lambda$ , la solution  $\vec{x}(t) = X_0(t) \cdot \vec{v}$  de l'EDO se prolonge selon  $X_1(t) \cdot \vec{v} = \lambda \vec{x}(t)$ , tout comme la fonction puissance  $t^r$  où  $r = \frac{\ln(\lambda)}{2i\pi}$  : autrement

dit  $t^{-r} \vec{x}(t) = \vec{\varphi}(t)$  est analytique au voisinage pointé de l'origine. Ainsi, pour une EDO scalaire

d'ordre 2 telle que les coefficients  $p$  et  $q$  possèdent en 0 une singularité isolée, si la matrice de monodromie

associé est diagonalisable, cela signifie que la solution générale prend la forme

$$x(t) = at \cdot \varphi_1(t) + b t \cdot \varphi_2(t)$$

avec  $a, b$  complexes,  $\varphi_1$  et  $\varphi_2$  analytiques au voisinage de 0 sauf éventuellement à l'origine. Par contre, et si  $M$  n'est pas diagonalisable, il existe une solution de la forme

$$\begin{pmatrix} x \\ y \end{pmatrix} = t^\alpha \varphi_1(t) ( b \ln t + \psi(t) )$$

- Sachant que les fractions  $q$  et  $\psi$  possèdent en 0 une singularité polaire ou essentielle, on parle de Point Singulier Régulier ou Irrégulier.

Si 0 est un PSR, et en supposant  $M$  diagonalisable cela entraînera que le wronskien

$$W = x_1 y_2 - y_1 x_2$$

est de la forme  $t^\alpha \cdot y(t)$  avec  $y$  analytique à l'origine et comme  $\dot{W} = -pW$  selon le théorème de LIOUVILLE, cela montre que  $p(t)$  possède en 0 au plus une singularité polaire d'ordre 1, tandis que pour  $q = -p \frac{i}{2} - \frac{\ddot{i}}{2}$  cette singularité

est d'ordre 2 au plus : Au cette lecture de la singularité à la vue des coefficients de l'EDO, on parle de Petit Singulier de 1<sup>ère</sup> espèce. C'est par exemple le cas de l'EDO de BESSEL ( $B_0$ ).

Le théorème de FUCHS établit la réciproque  $PS1 \Rightarrow PSR$ , et sa démonstration repose sur la méthode d'identification vue en 2), cherchant à résoudre l'EDO sous la forme

$$x(t) = t^r \cdot \sum_0^{\infty} x_n t^n$$

et en écrivant  $p(t) = \frac{1}{t} \cdot \sum_0^{\infty} p_n t^n$ ,  $q(t) = \frac{1}{t^2} \cdot \sum_0^{\infty} q_n t^n$

On obtient la relation récurrente

$$(n+r)(n+r-1)x_n + \sum_{k=0}^n [(k+r)p_{n-k} + q_{n-k}]x_k = 0$$

pour  $n$  entier, et la condition  $x_0 \neq 0$  conduit à l'équation déterminante

$$r(r-1) + rp_0 + q_0 = 0.$$

- Ainsi pour ( $B_0$ ), on a  $r^2 = 0$  et il existe une solution entière

$$I_0(t) = \sum_{n=0}^{\infty} \frac{(t/2)^{2n}}{(n!)^2}$$

Une solution de  $(B_0)$  indépendante de  $I_0$  peut s'obtenir par quadrature à partir du wronskien qui donne

$$x(t) = I_0(t) \int \frac{du}{u \cdot I_0^2(u)}$$

faisant apparaître à l'origine une singularité logarithmique.

Pour revenir au théorème de FUCHS, on peut en donner une démonstration plus rapide (mais moins constructive) en mettant pour commencer l'EDO scalaire sous la forme

$$\ddot{y} = \frac{1}{t} B \cdot \dot{y} \quad \text{soit} \quad \dot{y}(t) = \begin{pmatrix} \lambda(t) \\ t i(t) \end{pmatrix} \quad \text{et avec}$$

$B$  analytique au voisinage de 0. En posant  $\dot{y}(pe^{i\theta}) = \tilde{y}(p, \theta)$

on obtient  $|\partial_p \tilde{y}| \leq \|B\| \cdot |\tilde{y}|/p$  puis

$$\partial_p |\tilde{y}| + \frac{\|B\|}{p} |\tilde{y}| \geq 0 \quad \text{qui} \quad \text{à l'inverse donne}$$

$$|\tilde{y}| \leq C \cdot p^{-\|B\|} \quad \text{de } \dot{y}, \quad \text{et la conclusion cherchée}$$

avec les inégalités de CAUCHY.

b) On obtient une représentation intégrale de  $I_0$  par la méthode de LAPLACE complexe qui consiste à chercher une

solution sous la forme

$$x(t) = \int_{\mathcal{C}} e^{-tz} X(z) dz$$

si le chemin d'intégration  $\mathcal{C}$  et la transformée  $X$  sont connus :

un calcul formel de dérivation sous le signe  $\int_{\mathcal{C}}$  et d'intégration

permet de donner

$$\dot{x}(t) = \int_{\mathcal{C}} e^{-tz} (-z X(z)) dz$$

$$t \ddot{x}(t) = \int_{\mathcal{C}} z^2 X(z) d\left(\frac{-e^{-tz}}{z}\right) = -e^{-tz} z^2 X(z) \Big|_{\mathcal{C}} + \int_{\mathcal{C}} e^{-tz} (z^2 X)' dz$$

et

$$t x(t) = \int_{\mathcal{C}} X(z) d\left(\frac{-e^{-tz}}{z}\right) = -e^{-tz} X(z) \Big|_{\mathcal{C}} + \int_{\mathcal{C}} e^{-tz} X'(z) dz$$

En portant dans (B<sub>0</sub>) et en reportant le terme tout intégré, on obtient

naturellement conduit à considérer le système

$$\begin{cases} e^{-tz} (1-z^2) X(z) \Big|_{\mathcal{C}} = 0 \\ (z^2 X)' - z X - X' = 0 \end{cases}$$

où l'intégration de l'EDO (libérée d'elles variables séparables)

donne  $X(z) = \frac{1}{\sqrt{1-z^2}}$  : un chemin contourable joindra les points  $-1$  et  $1$  dans le domaine simplement connexe défini par les coupures  $]-\infty, -1]$  et  $]1, +\infty[$  (sur lequel  $X$  est bien défini).

Garibizi maintenant sans difficulté que

$$x(t) = \int_{-1}^1 \frac{e^{-ts} ds}{\sqrt{1-s^2}}$$

est une solution entière de  $(B_0)$ , les opérations formelles étant licites. D'après 5),  $x$  est donc proportionnel à  $I_0$

et, de fait

$$I_0(t) = \frac{1}{\pi} \int_{-1}^1 \frac{e^{-ts}}{\sqrt{1-s^2}} ds$$

(peut être d'ailleurs vérifiée en développant  $e^{-ts}$  en série, et en intégrant terme à terme).

Cette représentation intégrale permet d'obtenir le développement asymptotique de la fonction de BESSEL modifiée  $I_0$  lorsque  $t \rightarrow +\infty$  (selon la méthode de WATSON) :



15

$$I_0(t) = \frac{e^{-t}}{\pi\sqrt{2}} \int_0^2 \frac{e^{-t\theta}}{\sqrt{\theta(1-\theta/2)}} d\theta \quad \text{ou} \quad \int_1^2 \frac{e^{-t\theta}}{\sqrt{\theta(1-\theta/2)}} d\theta = G(e^{-t})$$

tandis que

$$\int_0^1 \frac{e^{-t\theta}}{\sqrt{1-\theta/2}} \cdot \frac{d\theta}{\sqrt{\theta}} = \sum_{n=0}^{N-1} \frac{(2n)!}{(2^n n!)^2} \int_0^1 e^{-t\theta} \left(\frac{\theta}{2}\right)^n \frac{d\theta}{\sqrt{\theta}} + R_N(t)$$

d'après le développement de TAYLOR de

$$(1-z)^{-1/2} = \sum_{n=0}^{N-1} \frac{(2n)!}{(2^n n!)^2} z^n + r_N(z)$$

où  $r_N(z) = \frac{(2N)!}{(2^N N!)^2} (1-\xi z)^{-\frac{2N+1}{2}} \cdot z^N$  avec  $\xi z$  compris

entre 0 et  $z = \frac{\theta}{2}$  appartenant à  $[0, \frac{1}{2}]$  conduit à l'estimation

du reste

$$R_N(t) \leq \frac{(2N)!}{(2^N N!)^2} \sqrt{2} \int_0^1 e^{-t\theta} \theta^{N-1/2} d\theta.$$

maintenant, et pour chaque  $n$

$$\int_0^1 e^{-t\theta} \theta^{n-1/2} d\theta = \int_0^\infty e^{-\lambda s} \lambda^{n-1/2} \frac{ds}{t^{n+1/2}} = \int_1^\infty e^{-t\theta} \theta^{n-1/2} d\theta$$

où l'  $\int_1^\infty$ , étant majorée par  $e^{-t/2} \int_0^\infty e^{-t\theta/2} \theta^{n-1/2} d\theta$

est exponentiellement petite lorsque  $t \rightarrow +\infty$ . Tout cela montre que

$$\int_0^1 \frac{e^{-t\theta}}{\sqrt{1-\theta/2}} \frac{d\theta}{\sqrt{\theta}} = \sum_0^{N-1} \frac{(2n)!}{(2^n n!)^2} \frac{\Gamma(n+1/2)}{2^n t^{n+1/2}} + O\left(\frac{1}{t^{N+1/2}}\right)$$

et conduit au DA

$$I_0(t) \underset{(t \rightarrow +\infty)}{\sim} \frac{e^{-t}}{\sqrt{2\pi t}} \sum_{n \geq 0} \frac{((2n)!)^2}{2^{5n} (n!)^3} \cdot \frac{1}{t^n}$$

On peut retrouver la forme de ce DA par la méthode de LIOUVILLE-STURM qui consiste, pour commencer à éliminer le terme en  $i$  dans  $(B_0)$  en posant  $x = \varphi \cdot y$  : on est naturellement conduit à poser  $x(t) = \frac{y(t)}{\sqrt{t}}$ ,  $y$  obéissant à l'EDO

$$\ddot{y} - y = -\frac{y}{4t^2} \quad \text{pour } t > 0$$

à laquelle on applique la méthode de LAGRANGE par le transformée dans l' Ei

$$y(t) = ae^t + be^{-t} + \int_1^t \frac{\sinh(t-s)}{4s^2} y(s) ds$$

En posant  $y(t) = e^t z(t)$ , cela s'écrit encore

$$z(t) = a + be^{-2t} + \int_1^t \frac{1 - e^{-2(t-s)}}{8s^2} z(s) ds$$

et si  $Z(t) = \sup_{1 \leq s \leq t} |z(s)|$  pour  $t \geq 1$ , on obtient

$$|z(t)| \leq |a| + |b| + \frac{1}{8} Z(t)$$

qui montre que  $Z(t) \leq \frac{8}{7}(|a| + |b|)$  est borné sur  $[1, \infty[$  :

ainsi,  $z(t) = e^{-t} \mathbb{V.E.} z(t)$  est solution d'une E1 de VOLTERRA régulière de la forme

$$z(t) = a + be^{-2t} - \int_t^{+\infty} \frac{1 - e^{-2(t-s)}}{8s^2} z(s) ds$$

où  $a, b$  désignent des constantes. On étudie par exemple l'E1

$$(E1)_1 \quad z(t) = 1 - \int_t^{\infty} \frac{1 - e^{-2(t-s)}}{8s^2} z(s) ds$$

en cherchant une solution de la forme  $\sum_0^{\infty} z_n(t) \cdot t^n$  selon

la méthode d'identification de NEWTON qui conduit à étudier la suite récurrente

$$z_{n+1}(t) = - \int_t^\infty \frac{1-e^{-2(t-s)}}{8\Delta^2} z_n(s) ds, \quad n \geq 0$$

avec  $z_0 = 1$ . On a pu commencer

$$|z_1(t)| = \left| - \int_t^\infty \frac{1-e^{-2(t-s)}}{8\Delta^2} ds \right| \leq \frac{1}{8t}$$

puis

$$|z_2(t)| \leq \int_t^\infty \frac{ds}{8^2 \Delta^3} = \frac{1}{2 \cdot 8^2 t^2}$$

et, en général

$$|z_n(t)| \leq \frac{1}{n!} \left( \frac{1}{8t} \right)^n$$

estimation qui assure la convergence normale de la série  $\sum_{n=0}^\infty z_n$  sur  $[1, +\infty[$ , le membre étant solution de l'(Ei)<sub>1</sub>; en outre ce développement est un DA au voisinage de  $+\infty$ .

Lectures :

1) E. GOURSAT Cours d'Analyse Mathématique § 389.  
J. DIEUDONNE Calcul infinitesimal XII § 5.

2) E. GOURSAT § 383 - 388.

3) J. DIEUDONNE XII § 5.

G. VALIRON Equations fonctionnelles. Applications § 45 - 46

4) G. VALIRON § 119. 120

5) F.G. TRICOMI Differential Equations § 44 - 46

E.A. CODDINGTON - N. LEVINSON Theory of ODE Chp 4.

6) G. VALIRON § 264.

E.T. COPSON Asymptotic expansions § 22

A. ERDELYI Asymptotic expansions § 3.3

# Compléments d'Analyse pour l'Aggrégation:

## exemple d'étude qualitative d'EDO

1) Comme exemple d'étude de système conservatif d'ordre 2, on commence par l'EDO du pendule  $\ddot{\theta} + \sin \theta = 0$  qui, mis sous la forme d'un Système Différentiel d'ordre 1 prend la forme

$$\begin{cases} \dot{x} = y \\ \dot{y} = -\sin x \end{cases} \quad (1) \quad \vec{\dot{x}} = \vec{f}(\vec{x}) \quad \left| \begin{array}{l} P(x,y) = y \\ Q(x,y) = -\sin x \end{array} \right.$$

selon les variables d'état  $x = \theta$ ,  $y = \dot{\theta}$  (c'est-à-dire vitesse angulaire)

Il existe ici une intégrale première  $V(x,y)$  du mouvement, c'est-à-dire une fonction restant constante le long de chaque trajectoire

$$\frac{d}{dt} V(x(t), y(t)) = 0 \quad : \quad \text{il suffit que } \underline{\text{la dérivée de } V}$$

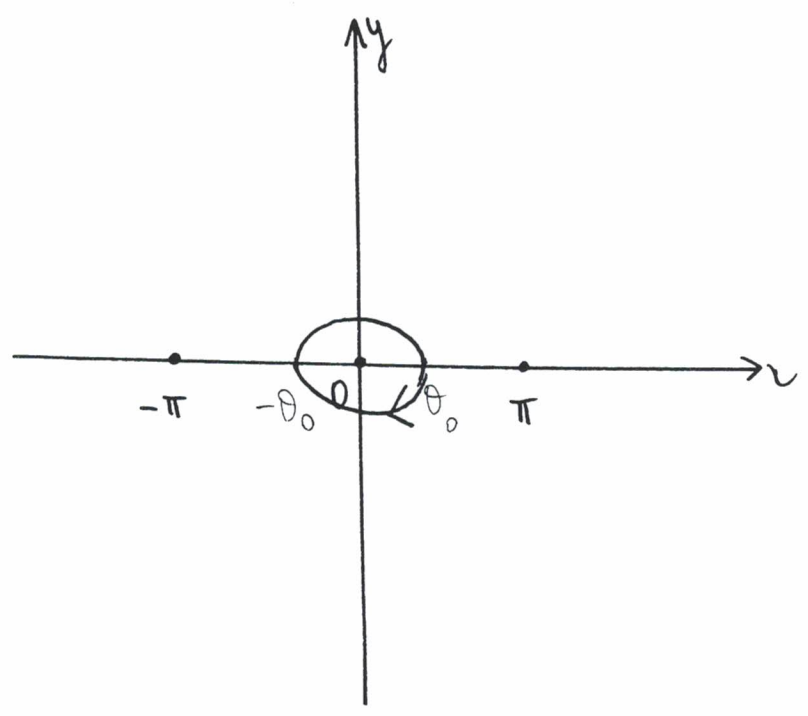
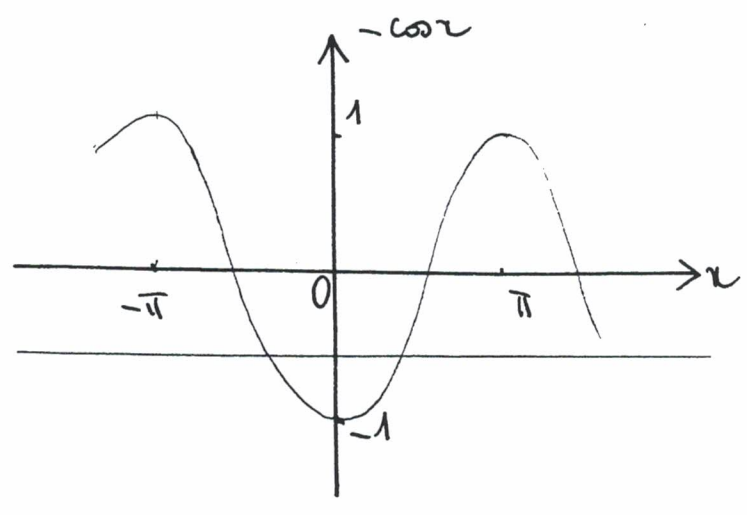
le long du flot différentiel

$$L_{\vec{f}}(V) = \vec{f} \cdot \vec{\nabla} V = y \frac{\partial V}{\partial x} - \sin x \frac{\partial V}{\partial y} = 0$$

En séparant les variables, on obtient une relation qui vient

$$V(x,y) = \frac{1}{2} y^2 - \cos x$$

et qui correspond, du point de vue Mécanique à l'énergie du pendule, somme de l'énergie cinétique  $\frac{1}{2} \dot{\theta}^2$ , et de l'énergie potentielle  $-\cos \theta$ . Cela conduit à étudier les lignes de niveau de la surface d'équation cartésienne  $z = V(x, y)$  :



les points critiques  $(\pi, 0)$  de  $V$  correspondent aux positions d'équilibre de l'EDO (positions basse et haute du pendule) dans le plan de phase  $\mathbb{R}^2_{(x,y)}$  des variables d'état.

Partant de la condition initiale  $x(0) = \theta_0 \in ]-\pi, \pi[$ ,  $y(0) = 0$   
(petite écarté de la position basse, et abandonné sans vitesse initiale)

on obtient  $V(x, y) = V(\theta_0, 0) = -\cos \theta_0$  soit

$$y^2 = 2(\cos x - \cos \theta_0)$$

qui donne une ligne de niveau bornée : la solution maximale du problème de CAUCHY est donc définie à chaque instant  $t$ , et la trajectoire est un cycle, dont on

écrit l'équation implicite, par conséquent ; le cycle est orienté dans le sens horaire, la vitesse en  $t=0$  étant donnée par le vecteur  $\vec{f}(\theta_0, 0) \begin{matrix} 0 \\ -\sin \theta_0 < 0 \text{ pour } 0 < \theta_0 < \pi \end{matrix}$ .

Cela correspond au mouvement d'oscillations du pendule, lorsque pour une condition initiale  $x(0) = 0$ ,  $y(0) = \dot{\theta}_0 > 0$  par exemple, le mouvement est d'évolution.

Pour la condition initiale limite  $x(0) = 0$ ,  $y(0) = 2$ , on obtient l'équation implicite

$$\left(\frac{dx}{dt}\right)^2 = 4 \cos^2 \frac{x}{2}$$

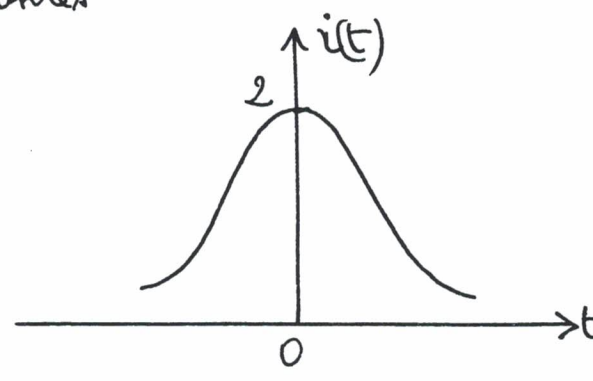
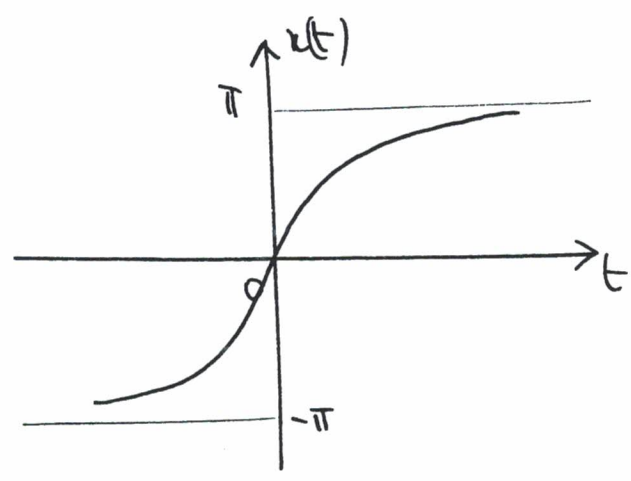


qui donne par quadrature

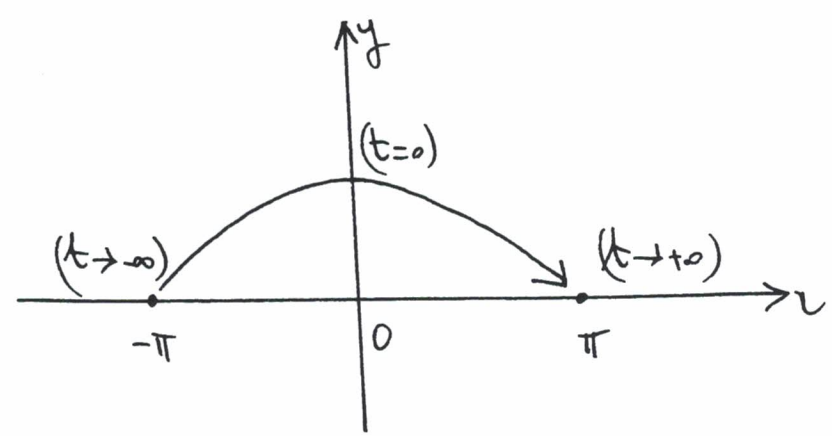
$$x(t) = 4 \operatorname{Arctg}(e^t) - \pi$$

$$\text{et } i(t) = \frac{2}{\cosh t}$$

Le tracé des courbes intégrales correspondantes

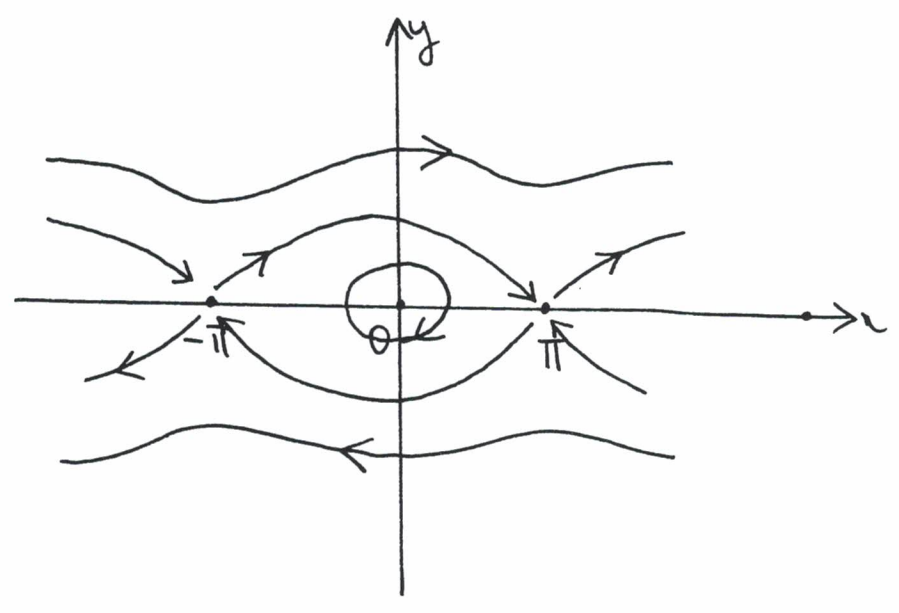


montre que la trajectoire associée



relie les équilibres haut : la ligne de niveau  $\{V=1\}$  contient une infinité de trajectoires ... en pratique l'équilibre haut et deux trajectoires appelées homoclines ou séparatrices (de mouvement périodique).

On peut ainsi tracer le portrait de phase de l'EDO du pendule:

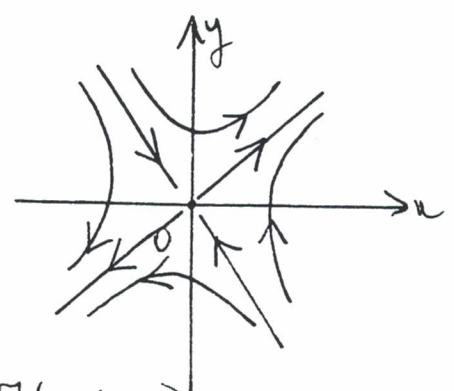
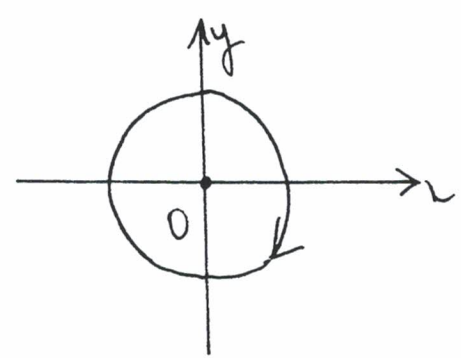


qui met en particulier en évidence la différence de nature des deux points d'équilibre, l'origine (le point bas) étant stable (c'est un puits), l'équilibre haut étant instable (c'est un col). Les EDO linéarisées n'ont

$$(1)_0 \begin{cases} \dot{x} = y \\ \dot{y} = -x \end{cases}$$

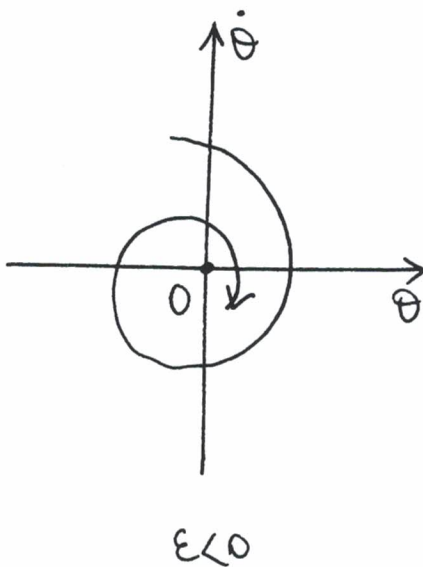
$$(1)_{(\pi)} \begin{cases} \dot{x} = y \\ \dot{y} = x \end{cases}$$

et leurs portraits de phase ressemblent localement à ceux du pendule près de l'équilibre correspondant

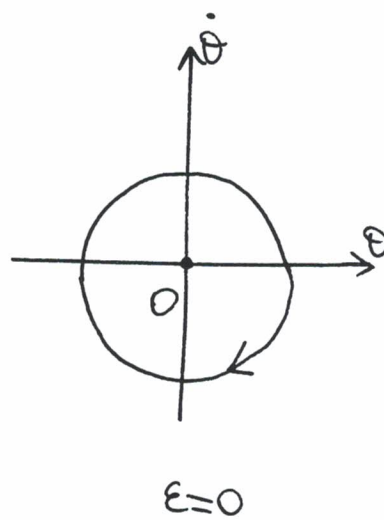


(cf. d. de petits mouvements de la (1) voisine)

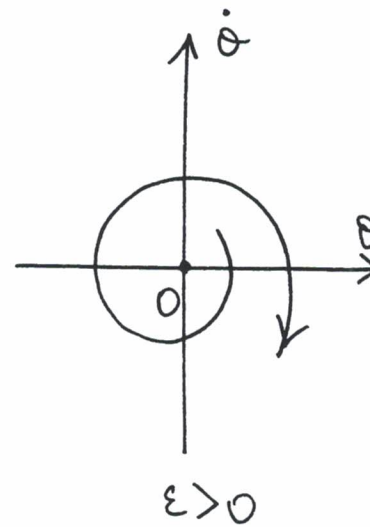
Il faut savoir que si cette ressemblance (en particulier la nature de la stabilité) est toujours vérifiée dans le cas d'un col (ou d'un nœud, ou d'un foyer), ce n'est pas le cas du centre : l'étude du pendule libéré avec frottement  $\ddot{\theta} + \epsilon \dot{\theta} + \theta = 0$  suffit à s'en convaincre :



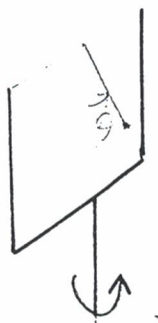
0 foyer stable



0 foyer instable



On aborde ici le problème de l'évolution du portrait de phase d'un SD dépendant d'un paramètre, et on pourra étudier l'exemple moins classique du pendule entraîné dans un mouvement de rotation de vitesse uniforme  $\omega$ , régi par l'EDO



$$(1) \quad \ddot{\theta} + \sin\theta - \omega^2 \sin\theta \cos\theta = 0$$

en mettant en évidence la valeur de bifurcation  $\omega = 1$  du paramètre

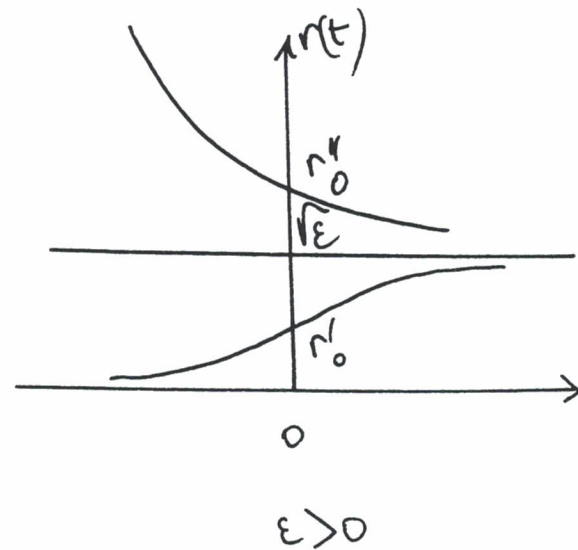
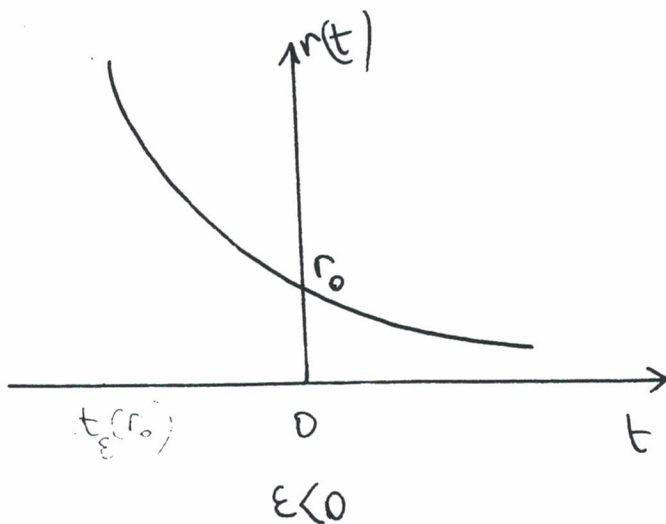
2) Comme exemple de SD d'ordre 1 non conservatif en dimension 2 on commence par étudier

$$\begin{cases} \dot{x} = \varepsilon x - y - x(x^2 + y^2) \\ \dot{y} = x + \varepsilon y - y(x^2 + y^2) \end{cases}$$

qui, en coordonnées planes prend la forme

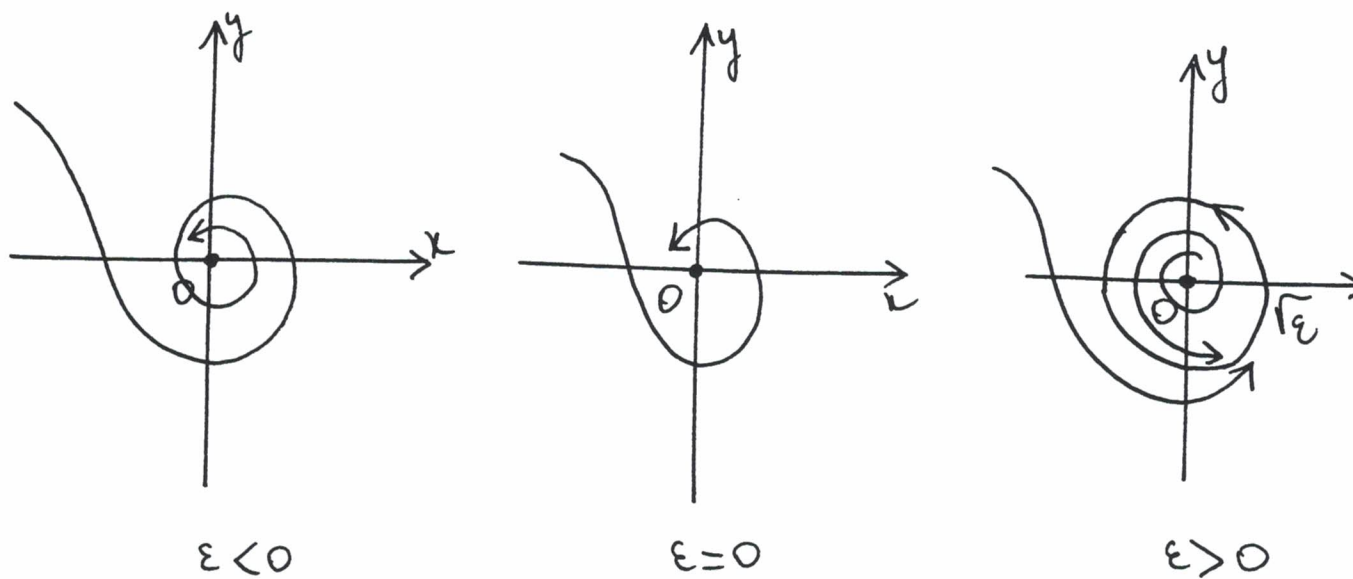
$$\begin{cases} \dot{r} = r(\varepsilon - r^2) \\ \dot{\theta} = 1 \end{cases}$$

Ici  $\theta(t) = \theta_0 + t$  mais l'intégration de l'Eqo d'ordre 1 à variables séparées en  $r$  conduit à distinguer les cas



et pour  $\varepsilon > 0$ , la solution générale s'écrit  $r(t) = \frac{r_0}{\sqrt{1 + 2t/r_0^2}}$ ,  $t > -\frac{1}{2}r_0^2$

L'origine étant en tous cas une position d'équilibre, on observe lorsque  $\varepsilon$  varie, une évolution du portrait de phase :



Le foyer perdant sa stabilité à  $\varepsilon = 0$  il apparaît un type nouveau de trajectoire, à savoir le cycle isolé  $r = \sqrt{\varepsilon}$  vers lequel tendent toutes les autres trajectoires : on parle de cycle limite.

Ce phénomène de bifurcation, appelé d'ANDRONOV-HOPF et fondamental, car étant générique il explique le fonctionnement des oscillateurs en particulier.

Le système linéaire en 0 s'écrit ici

$$(1) \begin{cases} \dot{x} = \varepsilon x - y \\ \dot{y} = x + \varepsilon y \end{cases}$$

et on y lit la perte de stabilité du foyer lorsque  $\varepsilon$  passe

par la valeur 0 de bifurcation. La démonstration de ce fait général n'est pas très difficile :

si (1)  $\dot{\vec{z}} = \vec{f}(z)$  est une EDO dans  $\mathbb{R}^2$  avec  $\vec{f}$  champ des vecteurs de classe  $\mathcal{C}^1$  s'annulant en 0, avec  $f'(0) = \begin{pmatrix} \alpha & -\beta \\ \beta & \alpha \end{pmatrix}$ ,

si  $\alpha < 0 < \beta$ , l'équilibre 0 est en effet un foyer stable de l'EDO.

En effet, en coordonnées polaires, l'EDO s'écrit

$$\begin{cases} \dot{r} = \alpha r + R(r, \theta) \\ \dot{\theta} = \beta + W(r, \theta) \end{cases}$$

avec  $R = \mathcal{O}(r^2)$  et  $W = \mathcal{O}(r)$  lorsque  $r \rightarrow 0$  si  $\vec{f}$  est de classe  $\mathcal{C}^2$ .

Si  $|R(r, \theta)| \leq \frac{\alpha}{2} r$ , et  $|W(r, \theta)| \leq \frac{\beta}{2}$  pour

$r \leq r_0$ ,  $\theta \in \mathbb{R}$ , on obtient  $r(t) \leq r_0 e^{\frac{\alpha}{2} t}$  pour  $t \geq 0$

ou, par un raisonnement  $\vec{f} \cdot \vec{OM} = \alpha r^2 + \mathcal{O}(r^3) < 0$  sur le

cercle  $\{r = r_0\}$  si le champ des vecteurs est donc rentrant

ce qui assure que la trajectoire est bien définie à chaque

instant  $t \geq 0$ ; ensuite  $r(t) \leq r_0 e^{\frac{\alpha}{2} t}$  pour  $t$  proche

de 0 permet de prolonger cette estimation sur  $t \geq 0$  entier.

on a aussi  $\dot{\theta} \geq \frac{\beta}{L}$  qui donne  $\theta(t) \geq \theta_0 + \frac{\beta}{L}t$ , de sorte que la trajectoire s'enroule autour de l'origine, en tendant vers l'équilibre, ressemblant ainsi à une spirale.

Ainsi est-il possible en général de détecter la perte de stabilité de l'équilibre par l'étude du système linéarisé, ce qui est facile.

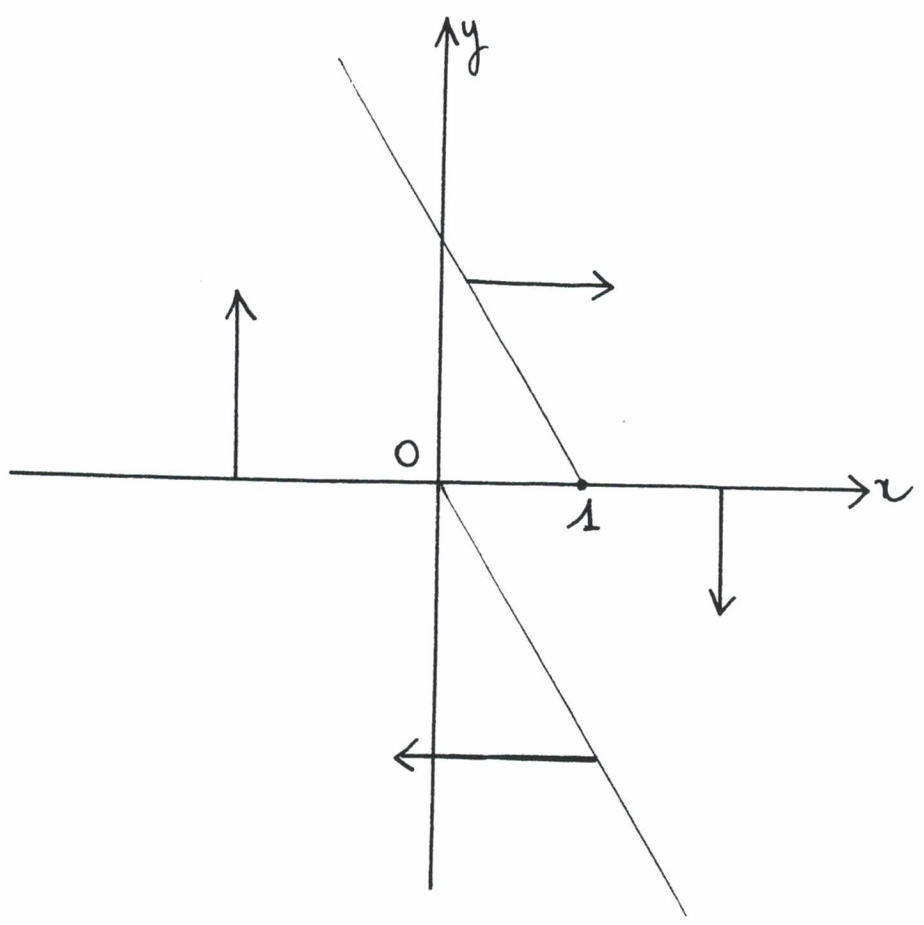
3) L'étude l'oscillateur d'ANDRONOV guidé par l'EDO

$$\ddot{x} + 2h\dot{x} + \omega_0^2 x = \omega_0^2 Y(x) = \omega_0^2 \begin{cases} 1, & \text{si } x \geq 0 \\ 0, & \text{si } x < 0 \end{cases}$$

où  $\omega_0 > 0$ ,  $h > 0$  désigne une perturbation, un coefficient d'atténuation. Soit, sous forme d'un SD

$$\begin{cases} \dot{x} = y \\ \dot{y} = -\omega_0^2 x - 2hy + \omega_0^2 Y(y) \end{cases}$$

où le champ des vitesses  $\vec{f}$  est donc non linéaire. Le tracé du champ dans le plan de phase  $\mathbb{R}_{xy}^2$  met en évidence, en particulier les lignes isoclines  $Ox$  et  $y = (\omega_0^2 - \omega_0^2) / 2h$  et  $y = \frac{-\omega_0^2}{2h}, y < 0$



et suggère de plus l'allure des trajectoires, autour de la position d'équilibre  $(1, 0)$ . Comme le champ  $\vec{f}$  subit une discontinuité à la traversée de l'axe des  $x$ , il faut préciser qu'on entend ici par plutôt de l'EDO une fonction de classe  $C^1$  par morceaux, et  $C^0$ .

Maintenant l'étude précise du comportement des solutions repose sur la notion d'application de POINCARÉ pour la section  $D_x$  :

pour la position initiale  $x(0) = x_0 > 1, y(0) = 0$



la particule commence par être gouvernée par l'EDO

$$\ddot{x} + 2h\dot{x} + \omega_0^2 x = 0$$

donc on prend la forme

$$x(t) = x_0 e^{-ht} \left( \cos(\omega t) + \frac{h}{\omega} \sin(\omega t) \right)$$

où  $\omega = \sqrt{\omega_0^2 - h^2}$  (si  $h < \omega_0$ ), du moins tant que

$$\dot{x}(t) = -\frac{\omega_0^2}{\omega} \sin(\omega t)$$

reste  $< 0$ , c'est-à-dire jusqu'à l'instant  $t_1 = \frac{\pi}{\omega}$  à partir duquel on passe au régime de l'EDO

$$\ddot{x} + 2h\dot{x} + \omega_0^2 x = \omega_0^2$$

avec la condition de raccordement  $x(t_1) = x_0 e^{-ht_1} \cos \omega t_1$   
 $\dot{x}(t_1) = 0$

ce qui conduit à la nouvelle expression

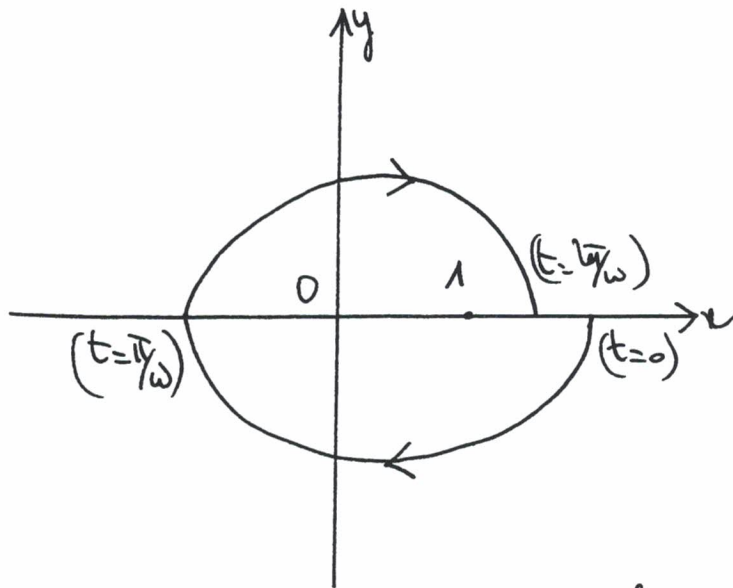
$$x(t) = 1 - \left( 1 + x_0 e^{-\frac{ht_1}{\omega}} \right) e^{-h(t-t_1)} \left( \cos \omega(t-t_1) + \frac{h}{\omega} \sin \omega(t-t_1) \right)$$

qui est valable tant que  $\dot{x}(t)$  est  $> 0$ , soit jusqu'à

l'instant  $t_2 = \frac{2\pi}{\omega}$  auquel  $x$  prend la valeur

$$x(t_2) = 1 + e^{-\frac{h\pi}{\omega}} (1 + x_0 e^{-\frac{h\pi}{\omega}})$$

et  $i(t_2)$  s'annule :



L'application  $X : x_0 \longrightarrow 1 + e^{-\frac{h\pi}{\omega}} (1 + x_0 e^{-\frac{h\pi}{\omega}})$  qui

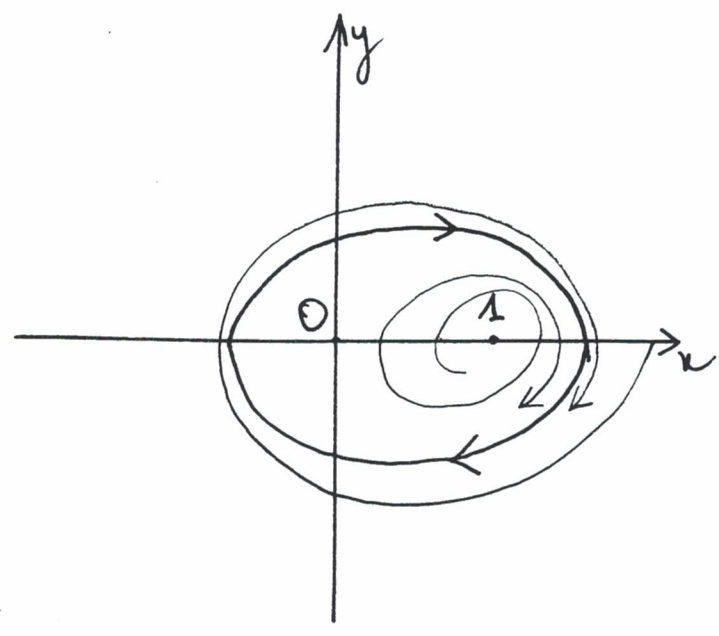
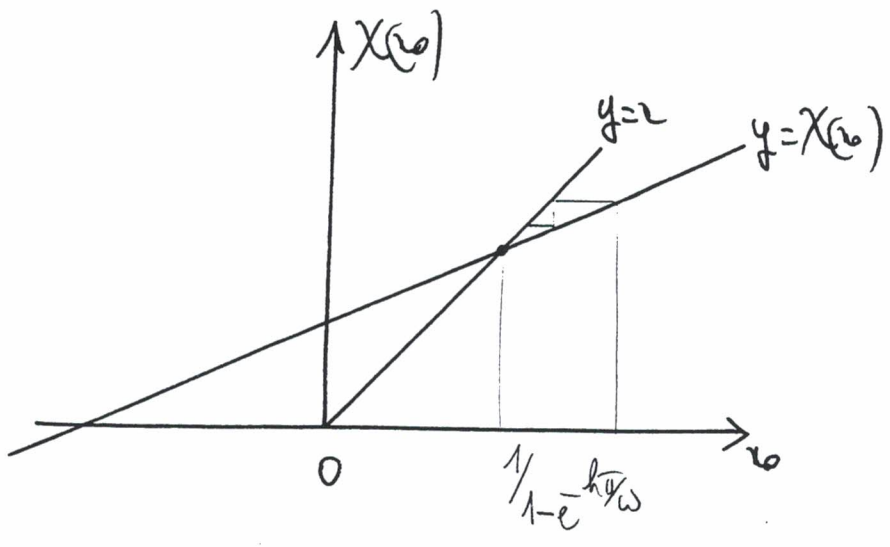
tient compte du comportement de la trajectoire sur un tour

est appelé application de POINCARÉ. Elle permet, à travers

on peut faire  $\frac{1}{1 + e^{-\frac{h\pi}{\omega}}}$  de détecter le cycle-limite

qui vient d'être ainsi caractérisé, ainsi que le comportement

des autres trajectoires qui s'en approchent exponentiellement.



4) Cette notion d'application de POINCARÉ (pas la forme application sur une période dans l'espace des phases élargi) sert à détecter les solutions de l'EDO linéaire à coefficients périodique

$$(1)_\epsilon \quad \ddot{x} + (\omega_0^2 - \epsilon \cos t)x = \sin t$$

à petit paramètre  $\epsilon$ , de même période  $2\pi$  que le second membre.

On s'appuie sur les solutions de  $(1)_0$  pour chercher une

solution synchrone avec la méthode de LAGRANGE

$$x(t) = A(t) \cos(\omega_0 t) + B(t) \sin(\omega_0 t)$$

qui donne

$$x(t) = a \cos(\omega_0 t) + b \sin(\omega_0 t) + \frac{1}{\omega_0} \int_0^t \sin \omega_0 (t-A) \cdot \sin \omega_0 A \, dA$$

Cette solution de (1)<sub>0</sub> sera 2 $\pi$ -périodique si  $(a, b)$  obéit au système linéaire

$$\begin{cases} x(0) = x(2\pi) \\ i(0) = i(2\pi) \end{cases}$$

qui possède une unique solution sous la condition de non-résonance

$\omega_0 \notin \mathbb{N}$ : la solution correspondante  $x(t)$  est alors entièrement déterminée par ce qui précède, et les valeurs de  $a, b$ .

On considère maintenant la solution de (1)<sub>c</sub> qui correspond à la perturbation initiale

$$\begin{cases} x(0) = a + \alpha \\ i(0) = b\omega_0 + \beta \end{cases}$$

Pour le théorème de dépendance dans la position initiale et le paramètre, cette solution  $x(t, \varepsilon, \alpha, \beta)$  est de classe  $C^\infty$  sur  $[0, 2\pi]_\varepsilon \times \mathbb{R}_0^3$  et admet par conséquent un développement de la forme

$$x_0(t) + A(t)\alpha + B(t)\beta + C(t)\varepsilon + \dots$$

où  $A$  (resp.  $B$ ) obéit à l'EDO de la première variation

$$\begin{cases} \ddot{A} + \omega_0^2 A = 0 \\ A(0) = 1 \quad \dot{A}(0) = 0 \end{cases} \quad \begin{cases} \ddot{B} + \omega_0^2 B = 0 \\ B(0) = 0 \quad \dot{B}(0) = 1 \end{cases}$$

et vaut donc  $\cos(\omega_0 t)$  (resp.  $\sin(\omega_0 t)/\omega_0$ ).

L'application  $\chi_\varepsilon$  sur la période  $2\pi$  est donc régulière, et on encadre les points fixes (pour les petites valeurs de  $\varepsilon$ ):

$$\text{en posant } \varphi(\varepsilon, \alpha, \beta) = \chi_\varepsilon(a + \alpha, b\omega_0 + \beta) - (a + \alpha, b\omega_0 + \beta)$$

il s'agit donc de résoudre l'équation  $\varphi(\varepsilon, \alpha, \beta) = 0$  dans  $\mathbb{R}^2$

sachant que  $\varphi(0, 0, 0) = 0$  et que  $\frac{\partial \varphi}{\partial (\alpha, \beta)}(0, 0, 0)$

s'écrit

$$\begin{pmatrix} A(\omega) - 1 & B(\omega) \\ \dot{A}(\omega) & \dot{B}(\omega) - 1 \end{pmatrix} : \text{compte-tenu de } \omega_0 \in \mathbb{N},$$

on conclut grâce au théorème de la fonction implicite, à l'existence pour  $\varepsilon$  proche de 0, d'un unique cycle synchronisé proche de celui obtenu pour  $(1)_0$ .

Lectures:

1) V. ARNOLD EDO 1 § 12.

2) idem § 5.

3) L. PONTRJAGUINE EDO § 29.

4) COBBINGTON - N. LEVINSON ODE Chap 14 sec 4.

# Compléments d'Analyse pour l'Aggrégation :

Analyse de Fourier et équations aux dérivées partielles, exemples.

1) Afin de justifier le choix des exemples au sein des EDP linéaires du second ordre, on examine l'effet du changement de variables

$$\begin{cases} x = \varphi(x, y) \\ y = \psi(x, y) \end{cases}$$

sur l'opérateur différentiel  $L$  défini par

$$L(u) = a \frac{\partial^2 u}{\partial x^2} + 2b \frac{\partial^2 u}{\partial xy} + c \frac{\partial^2 u}{\partial y^2}$$

où  $a, b, c$  désigne des fonctions de classe  $C^1$  à valeurs réelles avec  $a^2 + b^2 + c^2 \neq 0$  sur un ouvert  $\Omega$ ; un calcul élémentaire

montre que si  $u(x, y) = v(\xi, \eta)$ ,  $L u$  devient

$$\Lambda(v) = \alpha \frac{\partial^2 v}{\partial \xi^2} + 2\beta \frac{\partial^2 v}{\partial \xi \partial \eta} + \gamma \frac{\partial^2 v}{\partial \eta^2}$$

avec  $\alpha = a \left( \frac{\partial \varphi}{\partial x} \right)^2 + 2b \frac{\partial \varphi}{\partial x} \frac{\partial \varphi}{\partial y} + c \left( \frac{\partial \varphi}{\partial y} \right)^2$

$$\beta = a \frac{\partial \varphi}{\partial x} \frac{\partial \psi}{\partial x} + b \left( \frac{\partial \varphi}{\partial x} \frac{\partial \psi}{\partial y} + \frac{\partial \varphi}{\partial y} \frac{\partial \psi}{\partial x} \right) + c \frac{\partial \varphi}{\partial y} \frac{\partial \psi}{\partial y}$$

$$\gamma = a \left( \frac{\partial \psi}{\partial x} \right)^2 + 2b \frac{\partial \psi}{\partial x} \frac{\partial \psi}{\partial y} + c \left( \frac{\partial \psi}{\partial y} \right)^2.$$

Ainsi le signe du déterminant

$$ac - b^2 = (\alpha\gamma - \beta^2) \cdot \left| \frac{\partial(x, y)}{\partial(\xi, \eta)} \right|^2$$

est-il invariant, et l'ED L est dit

elliptique si  $ac - b^2 > 0$

hyperbolique si  $ac - b^2 < 0$

parabolique si  $ac - b^2 = 0$

et on montre la possibilité de l'écrire sous la forme

$$\begin{aligned} \Lambda(v) &= \alpha \cdot \Delta v \\ &= \alpha \left( \sum_{i,j} a_{ij}^2 v - \sum_{i,j} b_{ij}^2 v \right) \\ &= \sum_{i,j} \alpha \left( a_{ij}^2 - b_{ij}^2 \right) v \\ &= \alpha \sum_{i,j} \tilde{a}_{ij}^2 v \end{aligned}$$

selon le cas, par un changement de coordonnées locales.

On donne la démonstration dans le cas hyperbolique où l'on peut toujours supposer que  $a \neq 0$  au point étudié : comme

$ac - b^2 < 0$ , le trinôme  $aX^2 + 2bX + c$  possède deux

racines  $\lambda_1 < 0 < \lambda_2$  et on va donc chercher à résoudre

le système d'EDP

$$\begin{cases} \partial_x \psi - \lambda_1 \cdot \partial_y \psi = 0 \\ \partial_x \psi - \lambda_2 \cdot \partial_y \psi = 0 \end{cases}$$

en s'assurant que  $\left| \frac{\partial(\psi, \psi)}{\partial(x, y)} \right| \neq 0$ . Tout d'abord,  $\lambda_1$  et  $\lambda_2$



sont de classe  $\mathcal{C}^1$  d'après le théorème de la fonction implicite.

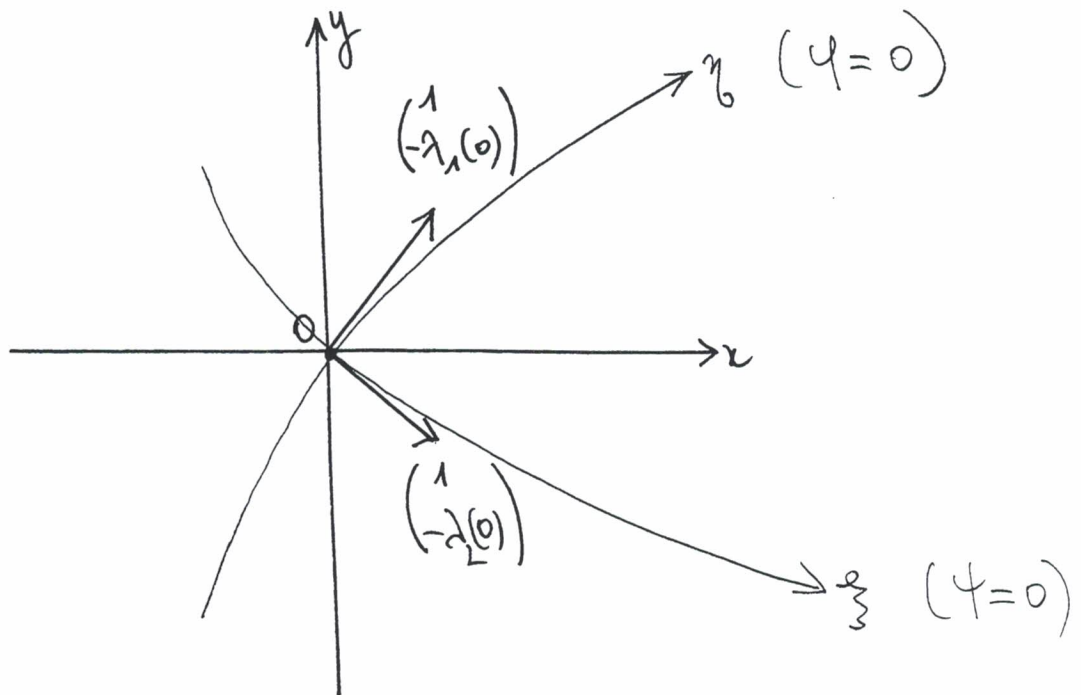
On résout ensuite localement le système d'EDP linéaires d'ordre 1

selon la méthode des caractéristiques qui consiste à faire appel

aux systèmes dynamiques

$$\begin{cases} \dot{x} = 1 \\ \dot{y} = -\lambda_1(x, y) \end{cases} \quad \text{et} \quad \begin{cases} \dot{x} = 1 \\ \dot{y} = -\lambda_2(x, y) \end{cases}$$

ce qui mène à l'EDO non résolue  $ay'^2 - 2by' + c = 0$  :



Comme  $\left| \frac{\partial(\psi, \psi)}{\partial(x, y)} \right| = \lambda_1 - \lambda_2 \neq 0$ , la conclusion suit.

2) On peut commencer à présenter la méthode de FOURIER ou la résolution d'un problème de DIRICHLET par l'OD de LAPLACE

sur le disque-unité : il s'agit donc de résoudre le

$$PD \begin{cases} \Delta u = 0 & \text{dans } D(0;1) \\ u = \varphi & \text{sur le } \partial D(0;1) \end{cases}$$

Vue la symétrie, on passe en coordonnées polaires  $x = r \cos \theta, y = r \sin \theta$

où le laplacien prend la forme  $\frac{1}{r} \frac{\partial}{\partial r} (r \frac{\partial u}{\partial r}) + \frac{1}{r^2} \frac{\partial^2 u}{\partial \theta^2}$ , et

on peut commencer par chercher des fonctions harmoniques particulières

de la forme  $R(r) \cdot \Phi(\theta)$  variables séparées :  $\Delta(R \cdot \Phi) = 0$

d'où alors

$$\frac{r(rR'' + R')}{R} = - \frac{\Phi''}{\Phi}$$

par conséquent constant. Si  $\lambda$  désigne cette constante, l'EDO

$$\Phi'' + \lambda \Phi = 0$$

ne peut admettre de solution telle que  $\Phi(0) = \Phi(2\pi)$  que si

$\lambda = n^2$  avec  $n$  entier ; on obtient alors l'EDO en  $R$

$$r^2 R'' + r R' - n^2 R = 0$$

qui relève du théorème de FUCHS (c'est une EDO d'EULER)

et admet les solutions fondamentales  $r^n$  et  $r^{-n}$  sur  $]0, \infty[$

de cette manière, on obtient la famille de fonctions harmoniques

$$r^{|\alpha|} e^{i\alpha \theta}, \quad \alpha \text{ parcourant } \mathbb{Z}$$

sur  $\mathbb{R}^2$ .

- Si la donnée frontière  $\varphi$  est de classe  $\mathcal{C}^1$ , on peut le développer en Séries de Fourier selon

$$\varphi(e^{i\theta}) = \sum_{-\infty}^{\infty} c_n e^{in\theta}$$

car  $c_n = \frac{1}{2\pi} \int_{-\pi}^{\pi} \varphi(e^{it}) e^{-int} dt$  pour  $n \in \mathbb{Z}$ , et selon le

principe de superposition associé par la linéarité de l'EDP, il est naturel de chercher à résoudre le PD selon

$$v(r, \theta) = \sum_{-\infty}^{\infty} c_n e^{in\theta} \cdot r^{|n|}$$

Par un calcul formel, on est ainsi conduit à considérer

$$\frac{1}{2\pi} \int_{-\pi}^{\pi} \sum_{-\infty}^{\infty} r^{|n|} e^{in(\theta-t)} \cdot \varphi(e^{it}) dt$$

où le série se calcule facilement pour donner  $\int_{-\pi}^{\pi} P_r(\theta-t) \varphi(e^{it}) dt$

avec  $P_r(\theta) = \frac{1}{2\pi} \cdot \frac{1-r^2}{1-2r \cos \theta + r^2}$ ,  $0 \leq r < 1$

dénommant le noyau de Poisson.

- Il reste maintenant à montrer que si  $\varphi$  est continue sur  $\partial D(0; 1)$ ,

l'intégrale de convolution  $\int_{-\pi}^{\pi} P_r(\theta-t) \varphi(e^{it}) dt$  donne la solution au PD : que la fonction soit harmonique dans le disque ouvert et déduit immédiatement de la propriété analytique de  $P_r$ .

Quant au fait que  $v(r, \theta) \xrightarrow{r \rightarrow 1-} \varphi(e^{i\theta})$  c'est-à-dire que  $v$  tende radialement vers la donnée frontalière, cela découle du fait que  $(P_r)_{0 \leq r < 1}$  constitue une Unité Approximée. En effet

- $P_r \geq 0$  est  $2\pi$ -périodique et paire

- $\int_{-\pi}^{\pi} P_r(\theta) d\theta = \sum_{-\infty}^{\infty} \frac{1}{2\pi} \int_{-\pi}^{\pi} e^{in\theta} d\theta \cdot r^{|n|} = 1$  pour  $0 \leq r < 1$

(puisque la série converge abs normalement en  $\theta$ )

- si  $0 < \delta < \pi$ , on a

$$\int_{\delta}^{\pi} P_r(\theta) d\theta \leq \frac{1}{2\pi} \cdot \frac{1-r^2}{1-2r \cos \delta + r^2} \pi \xrightarrow{(r \rightarrow 1-)} 0$$

- On expliquera l'unicité par la formule de GREEN

$$\iint_{D(0;1)} \operatorname{div}(u \vec{\nabla} u) dx dy = \int_{\partial D(0;1)} u \vec{\nabla} u \cdot \vec{\nu} d\theta$$

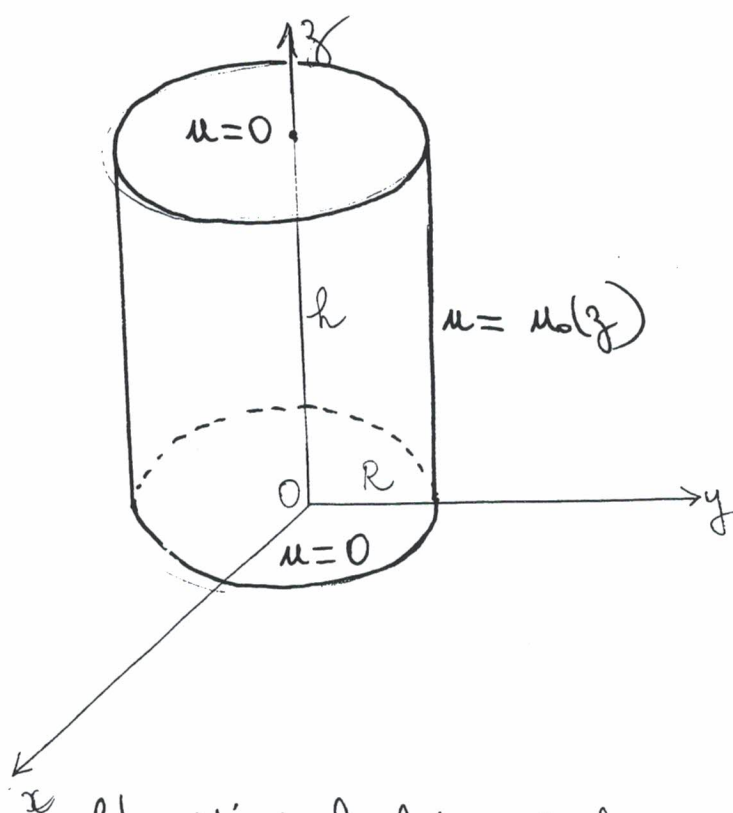
soit  $\iint_{D(0;1)} (\|\vec{\nabla} u\|^2 + u \Delta u) dx dy = \int_{\partial D(0;1)} u \frac{\partial u}{\partial \nu} d\theta$

et qui montre que si  $\varphi=0$ ,  $\vec{\nabla}u=0$  dans  $D(0;1)$  qui permet de conclure.

- Enfin, on expliquera comment résoudre à partir de là le PD sur un ouvert simplement connexe borné à l'aide de la transformation conforme.

3) On peut choisir un exemple moins répandu, en résolvant le PD pour un cylindre droit, avec une donnée frontière nulle

sur les bords, et valant  $u_0(z)$  sur la surface latérale.



- L'unicité de la solution découle avec de la formule de GREEN, et avec la forme de la donnée frontière, on la cherche sous la forme  $u(r, z)$  (en coordonnées cylindriques). La fonction

$v$  doit obéir à l'EDP 
$$\frac{1}{r} \frac{\partial}{\partial r} \left( r \frac{\partial v}{\partial r} \right) + \frac{\partial^2 v}{\partial z^2} = 0$$

- La recherche de solutions particulières de la forme  $R(r) \cdot Z(z)$  conduit à étudier

$$\frac{rR'' + R'}{rR} = -\frac{z''}{z} = \lambda$$

où  $Z(0) = Z(h) = 0$  simple (si l'on veut une solution non triviale) que  $\lambda = \left(\frac{n\pi}{h}\right)^2$  avec  $n$  entier : on obtient alors  $Z(z)$  proportionnel à  $\sin\left(\frac{n\pi}{h}z\right)$ , tandis que  $R$  doit obéir à l'EDO

$$rR'' + R' - w^2 rR = 0$$

qui est à rapprocher de l'EDO de BESSEL modifiée

$$(B_0) t \ddot{u} + \dot{u} - tu = 0$$

étudiée par ailleurs : comme  $R$  doit être régulière en 0, on obtient

$$R(r) = I_0\left(\frac{n\pi}{h}r\right)$$

à une constante multiplicative près. Ainsi dispose-t-on d'une famille

$$I_0\left(\frac{n\pi}{h}r\right) \cdot \sin\left(\frac{n\pi}{h}z\right), \quad n \in \mathbb{N}^*$$

de fonctions harmoniques vérifiant les conditions sur les bords du

cylindre.

- Selon le principe de superposition, on cherche  $v$  sous la forme

$$v(r, z) = \sum_{n=1}^{\infty} a_n I_0\left(\frac{n\pi}{h} r\right) \cdot \sin\left(\frac{n\pi}{h} z\right)$$

où les coefficients devront donc être liés au développement

en Série de Fourier de la fonction  $u_0(z)$  obtenue en rendant

$u_0$  impaire sur  $[-h, h]$ , puis en la rendant  $2h$ -périodique :

$$a_n \cdot I_0\left(\frac{n\pi}{h} R\right) = \frac{2}{h} \int_0^h u_0(z) \sin\left(\frac{n\pi}{h} z\right) dz, \quad n \in \mathbb{N}^*$$

et on est naturellement conduit à considérer la fonction

$$v(r, z) = \frac{2}{h} \sum_{n=1}^{\infty} \int_0^h u_0(z) \sin\left(\frac{n\pi}{h} z\right) dz \cdot \frac{I_0\left(\frac{n\pi}{h} r\right)}{I_0\left(\frac{n\pi}{h} R\right)} \sin\left(\frac{n\pi}{h} z\right)$$

définie comme la somme d'une série normalement convergente

sur tout cylindre  $\{0 \leq r \leq \rho < R\} \times [0, h]_z$  si la donnée  $u_0$

est par exemple continue. En effet, l'étude du comportement

asymptotique de  $I_0(t) \underset{(t \rightarrow +\infty)}{\sim} \frac{e^t}{\sqrt{2\pi t}}$  assure que le

terme général de la série est contrôlé par

$$|C_n(u_0)| \frac{I_0(n\pi r/h)}{I_0(n\pi R/h)} \ll |C_n(u_0)| \frac{I_0(n\pi R/h)}{I_0(n\pi R/h)}$$

qui est exponentiellement petit à l'infini. Il reste à s'assurer de la possibilité de donner une somme, par le même type d'arguments. Enfin, si l'on suppose  $u_0$  de classe  $C^1$ , la série  $\sum_1^\infty |C_n(u_0)|$  converge (avec l'inégalité de CAUCHY-SCHWARZ et l'égalité de PARSEVAL), si bien que  $w(r, z) \xrightarrow{r \rightarrow R^-} u_0(z)$  le passage à la limite sur la ligne somme étant licite par convergence dominée.

4) On étudie le problème de GOURSAT hyperbolique

$$(PG) \begin{cases} \frac{\partial^2 u}{\partial x^2 \partial y} = u & \text{sur } x > 0, y > 0 \\ u(x, 0) = 1, \quad \forall x \geq 0, \quad u(0, y) = 1 \quad \forall y \geq 0 \end{cases}$$

selon différents procédés.

- En intégrant l'EDP sur le rectangle  $[0, x] \times [0, y]$  à  $x, y > 0$  donné, on transforme le PG selon l'

$$(Ei) \quad u(x, y) = 1 + \int_0^x \int_0^y u(\xi, \eta) d\xi d\eta$$



et il s'agit là d'une E.I. de VOLTERRA qui s'intègre par itération, en étudiant la suite

$$\begin{cases} u_0 = 1 \\ u_{n+1}(x,y) = \int_0^x \int_0^y u_n(\xi,\eta) d\xi d\eta, \quad n \geq 0 \end{cases}$$

(considérer l'(Ei)<sub>λ</sub>  $u = 1 + \lambda \cdot \int_0^x \int_0^y u d\xi d\eta$ , et chercher à le résoudre sous  $\sum_0^\infty u_n \cdot \lambda^n$  par identification selon les puissances de

Un calcul simple montre que  $u_n(x,y) = \frac{(xy)^n}{(n!)^2}$ , et on remplace

dans la série  $\sum_0^\infty \frac{(xy)^n}{(n!)^2}$  la valeur de  $I_0$  au point  $2\sqrt{xy}$

C'est là l'unique point fixe de l'application fonctionnelle  $\Phi$  définie par  $\Phi u = \int_0^x \int_0^y u d\xi d\eta$  qui n'aère en effet contractante

sur l'espace de BANACH  $C^0([0,R] \times [0,R])$  une fois qu'on l'itère assez de fois.

- En admettant que la solution au (PG) vérifie une condition de croissance de la forme

$$|u(x,y)| \leq C e^{cx}$$

où  $C, c > 0$ , on peut considérer la transformée de FOURIER

complexe en  $z$

$$U(\xi, y) = \int_0^{\infty} e^{-2i\pi\xi z} u(z, y) dz$$

de  $u(z, y) \in C(\cdot)$  sur  $(0, \infty)$ , qui à  $y \geq 0$  donné, est analytique en  $z$

sur le demi-plan  $\text{Im}(z) < -\frac{y}{2\pi}$ . En faisant la même hypothèse

sur  $\frac{\partial u}{\partial y}$ , on obtiendra

$$\frac{\partial U}{\partial y}(\xi, y) = \int_0^{\infty} e^{-2i\pi\xi z} \frac{\partial u}{\partial y}(z, y) dz$$

soit, en intégrant par parties

$$\frac{e^{-2i\pi\xi z}}{-2i\pi\xi} \cdot \frac{\partial u}{\partial y}(z, y) \Big|_{z=0}^{\infty} + \frac{1}{2i\pi\xi} \int_0^{\infty} e^{-2i\pi\xi z} \frac{\partial^2 u}{\partial x \partial y}(z, y) dz$$

valant  $\frac{1}{2i\pi\xi} U(\xi, y)$ . Ainsi a-t-on  $U(\xi, y) = K(\xi) e^{\frac{y}{2\pi\xi}}$

avec  $K(\xi) = U(\xi, 0) = \int_0^{\infty} e^{-2i\pi\xi z} dz = \frac{1}{2i\pi\xi}$  qui donne

$$U(\xi, y) = \frac{e^{\frac{y}{2i\pi\xi}}}{2i\pi\xi} \quad \text{pour } \text{Im}(\xi) < -\frac{y}{2\pi}$$

et suggère la solution

$$u(x,y) = \overline{\mathcal{F}} U(\cdot + iy, y)(x) \cdot e^{2\pi\eta x}$$

à  $\xi = \zeta + iy$ , on  $U(\zeta + iy, y) = \mathcal{F}_{L(\mathbb{R}_+)} \left( e^{2\pi\eta z} u(x,y) \right) (\zeta)$

équivalait

$$u(x,y) = \frac{1}{2i\pi} \int_{iy-\infty}^{iy+\infty} e^{2i\pi\xi z} \cdot e^{y/k i\pi\xi} \frac{d\xi}{\xi}, \quad \eta < -\frac{c}{2a}$$

où l'intégrale est prise au sens d'une valeur principale de CAUCHY

- Le théorème de CAUCHY montre l'indépendance en  $\eta$ , et permet de transformer l'intégrale selon

$$u(x,y) = \frac{1}{2i\pi} \int_{iy-\infty}^{iy+\infty} e^{i\sqrt{xy} \left( \xi - \frac{1}{\xi} \right)} \frac{d\xi}{\xi}$$

qui se peut relier à l'équation intégrale de

$$I_0(t) = \frac{1}{\pi} \int_{-1}^1 e^{-t\lambda} \frac{d\lambda}{\sqrt{1-\lambda^2}}$$

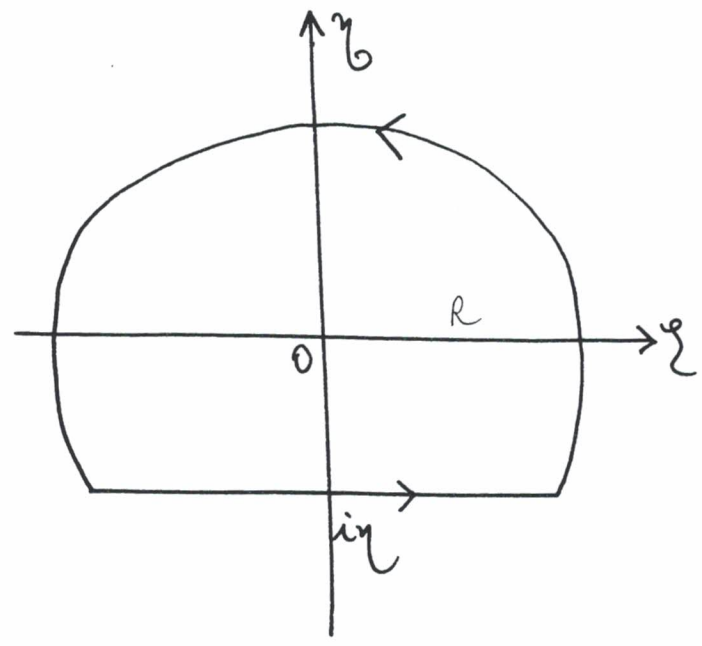
selon LAPLACE. En effet, celle-ci se lit comme l'intégrale

curviligne  $\frac{1}{2i\pi} \int_{\mathcal{D}(0;1)} e^{i\frac{t}{2}(\omega - \frac{1}{\omega})} \frac{d\omega}{\omega}$  (intégrale de SONINE)

qui, avec le théorème d'homotopie de CAUCHY se transforme selon

$$\frac{1}{2i\pi} \int_{\mathcal{C}_R} e^{i\frac{t}{2}(\omega - \frac{1}{\omega})} \frac{d\omega}{\omega}$$

ou



Pour conclure, il suffit maintenant de montrer que l'intégrale sur l'arc de cercle tend vers 0 lorsque le rayon  $R \rightarrow +\infty$  :

cela découle de l'estimation

$$\int_0^\pi e^{-\frac{t}{2}(R - \frac{1}{R})\sin\theta} d\theta \xrightarrow{(R \rightarrow \infty)} 0 \quad \text{par majorance dominée}$$

- Les estimations a priori sont satisfaites, en vertu du comportement asymptotique de  $I_0$  et de sa dérivée.

5) On étudie le problème de diffusion (de type parabolique)

$$\partial_t u = \frac{\sigma^2}{2} \partial_{xx}^2 u + \alpha u \quad \text{sur } t > 0, 0 < x < L$$

pour les Conditions Limites  $u(t, 0) = u(t, L) = 0 \quad \forall t \geq 0$

et la Condition Initiale  $u(0, \cdot) = u_0$  donnée.

$\sigma > 0$  est le coefficient de diffusion,  $\alpha > 0$  celui de création...

- En cherchant des solutions particulières de la forme  $u(t, x) = T(t) \cdot X(x)$  à l'EDP et qui vérifient les CL, on est conduit à

$$\frac{\dot{T}}{T}(t) = \underbrace{\left( \frac{\sigma^2}{2} X'' + \alpha X \right)}_X(x) = \lambda \in \mathbb{R}$$

et le

$$(PD) \begin{cases} \frac{\sigma^2}{2} X'' + (\alpha - \lambda) X = 0 \\ X(0) = X(L) = 0 \end{cases}$$

n'admet de solution non triviale que si  $\lambda = \alpha - n^2 \frac{\sigma^2}{2L^2}$  avec

$n$  dans  $\mathbb{N}^*$  :  $T(t)$  prend alors la forme

$$T(t) = e^{\lambda t}$$

et on obtient de cette manière une famille

$$e^{(\alpha - n^2 \frac{\sigma^2}{2L^2}) t} \cdot \sin\left(\frac{n\pi}{L} x\right), \quad n \in \mathbb{N}^*$$

de solutions particulières.

On cherche donc à résoudre le problème d'évolution sur la forme

$$u(t, x) = e^{at} \cdot \sum_1^{\infty} c_n \cdot e^{-n \frac{\pi^2}{2L} t} \sin\left(\frac{n\pi}{L} x\right)$$

où les coefficients  $(c_n)$  doivent être tels que

$$u_0(x) = \sum_1^{\infty} c_n \sin\left(\frac{n\pi}{L} x\right)$$

On prolonge donc  $u_0$  sur  $[-L, L]$  en la rendant impaire puis par  $2L$  périodicité : en supposant  $u_0$  de classe  $C^1$  sur  $[0, L]$

cela conduit à trouver

$$c_n = \frac{2}{L} \int_0^L u_0\left(\frac{\xi}{2}\right) \sin\left(\frac{n\pi}{L} \frac{\xi}{2}\right) d\xi$$

Maintenant la série considérée plus haut converge normalement sur  $[0, \infty[ \times [0, L]$  et définit une fonction de classe  $C^0$  sur  $]0, \infty[ \times [0, L]$ , d'après le théorème de dérivation sous le signe somme. Ainsi la diffusion régulière -t- elle la donnée initiale.

L'origine du problème pouvant être l'évolution d'une dentée de

population, il est important de remarquer que  $n, n_0 \geq 0, u \geq 0$ .

- Si  $u(t, \cdot)$  est intégrable sur  $\mathbb{R}$ , on peut introduire

la transformée de Fourier

$$U(t, \xi) = \int_{-\infty}^{\infty} u(t, z) \cdot e^{-i t \xi z} dz$$

et, en supposant les opérations licites, transforme l'EDP

selon

$$\partial_t U(t, \xi) = -2\sigma^2 \pi^2 \xi^2 \cdot U(t, \xi) + \alpha U(t, \xi)$$

ce qui conduit, en tenant compte de la CI au

$$(PC) \begin{cases} \partial_t U(t, \xi) = (\alpha - 2\sigma^2 \pi^2 \xi^2) U(t, \xi) \\ U(0, \xi) = \hat{u}_0(\xi) \end{cases}$$

so solution

$$U(t, \xi) = \hat{u}_0(\xi) e^{(\alpha - 2\sigma^2 \pi^2 \xi^2)t}$$

Comme  $\hat{g} = g$  par  $g(x) = e^{-\pi x^2}$  fonction de GAUSS, cela

amène à considérer, par  $u_0$  intégrable sur  $\mathbb{R}$ , la fonction

$$u(t, z) = u_0 * \underset{L^1(\mathbb{R}_z)}{e^{\alpha t}} \cdot \frac{e^{-\frac{z^2}{2\sigma^2 t}}}{\sigma \sqrt{2\pi t}} \quad (2)$$

ait

$$u(t, x) = \frac{1}{\sigma\sqrt{2\alpha t}} \int_{-\infty}^{+\infty} u_0(y) e^{-\frac{(x-y)^2}{2\sigma^2 t}} dy \cdot e^{\alpha t}$$

maintenant, et comme  $\left( g_{\sigma t}(x) = \frac{1}{\sigma\sqrt{2\alpha t}} e^{-\frac{x^2}{2\sigma^2 t}} \right)_{t>0}$  est une

V.A., si  $u_0$  est continue bornée sur  $\mathbb{R}$ ,  $u(t, x) \xrightarrow[t \rightarrow 0^+]{}$

de sorte que  $u$  répond le

$$\text{P.C.I.} \begin{cases} \partial_t u = \frac{\sigma^2}{2} \partial_{xx}^2 u + \alpha u & \text{sur } ]0, \infty[ \times \mathbb{R}_x \\ u(0, \cdot) = u_0 \end{cases}$$

et, revenant au problème posé, en posant  $u_0$  plus  $\tilde{u}_0$  comme on l'a fait par la première méthode, on est conduit

à considérer

$$u(t, x) = \frac{e^{\alpha t}}{\sigma\sqrt{2\alpha t}} \int_{-\infty}^{+\infty} \tilde{u}_0(y) e^{-\frac{(x-y)^2}{2\sigma^2 t}} dy$$

qui vérifie bien en outre le C.H. En effet

$$u(t, 0) = 0, \quad \text{l'intégrant étant impair}$$



et

$$u(x, L) = \frac{e^{at}}{\sigma\sqrt{2at}} \int_{-\infty}^{\infty} \tilde{u}_0(L-y) e^{-\frac{y^2}{2at}} dy = 0$$

car

$$\tilde{u}_0(L+y) = \tilde{u}_0(-L+y) = -\tilde{u}_0(L-y).$$

On obtient ainsi une relation intégrale du problème, qui est naturellement positive.

— On relie directement la série série et intégrale (sans passer par l'unicité de la solution).

Pour  $u_0$  continue bornée, on peut écrire

$$\sum_1^{\infty} \frac{2}{L} \int_0^L u_0(\xi) \sin\left(\frac{n\pi}{L}\xi\right) d\xi \cdot e^{-\frac{n^2\sigma^2\pi^2}{2L^2}t} \sin\left(\frac{n\pi}{L}x\right) =$$

$$\frac{2}{L} \int_0^L \sum_1^{\infty} e^{-\frac{n^2\sigma^2\pi^2}{2L^2}t} \sin\left(\frac{n\pi}{L}\xi\right) \sin\left(\frac{n\pi}{L}x\right) \cdot u_0(\xi) d\xi$$

si, en linéarisant  $2\sin\left(\frac{n\pi}{L}\xi\right) \sin\left(\frac{n\pi}{L}x\right) = \cos\frac{n\pi}{L}(x-\xi) - \cos\frac{n\pi}{L}(x+\xi)$

et en tenant du fait que

$$-\int_0^L \cos\frac{n\pi}{L}(x+\xi) u_0(\xi) d\xi = \int_{-L}^0 \cos\frac{n\pi}{L}(x-\xi) \tilde{u}_0(\xi) d\xi$$

l'équation intégrale

$$u(t, x) = \int_{-L}^L \mathcal{N}(t, x-\xi) \tilde{u}_0(\xi) d\xi$$

de noyau

$$\mathcal{N}(t, x) = e^{\alpha t} \cdot \frac{1}{L} \cdot \sum_1^{\infty} e^{-\frac{n^2 \sigma^2 \pi^2}{2L^2} t} \cdot \cos\left(\frac{n\pi}{L} x\right).$$

On étudie maintenant le noyau intégral obtenue par le transformateur de FOURIER

$$u(t, x) = \frac{e^{\alpha t}}{\sigma \sqrt{2\alpha t}} \sum_{-\infty}^{+\infty} \tilde{u}_0(y) e^{-\frac{(x-y)^2}{2\alpha t}} dy$$

soit, par le changement de variable  $y = 2kL + \xi$  et

le théorème d'intégration terme à terme

$$e^{\alpha t} \int_{-L}^L \sum_{-\infty}^{+\infty} e^{-\frac{(x-\xi-2kL)^2}{2\alpha t}} \tilde{u}_0(\xi) \frac{d\xi}{\sigma \sqrt{2\alpha t}}$$

où il apparaît le noyau

$$\mathcal{N}(t, x) = e^{\alpha t} \cdot \frac{1}{\sigma \sqrt{2\alpha t}} \cdot \sum_{-\infty}^{+\infty} e^{-\frac{(x-2kL)^2}{2\alpha t}}$$

Or, l'identité  $\varphi' = d\psi$  n'est autre que la formule sommatoire de POISSON pu la fonction  $\theta$  de RIEMANN :

$$\sum_{-\infty}^{\infty} \varphi(z+n) = \sum_{-\infty}^{\infty} e^{i k \pi x} \hat{\varphi}(2kx)$$

pu  $\varphi(z) = e^{-\frac{z}{2\sigma}t}$  à  $t > 0$  fixé.

Lectures

- 1) R. COURANT - D. HILBERT MMP 2 - III § 1.
- 2) LAURENTIEV - CHABAT Méthodes de la théorie des fonctions d'une variable complexe § 43 - 44.
- 3) R. COURANT - D. HILBERT MMP 1 - II § 6.
- 4) G. VALIRON 2 § 291.  
E. GOURSAT § 499.
- 5) R. COURANT - D. HILBERT 2 - III § 6.

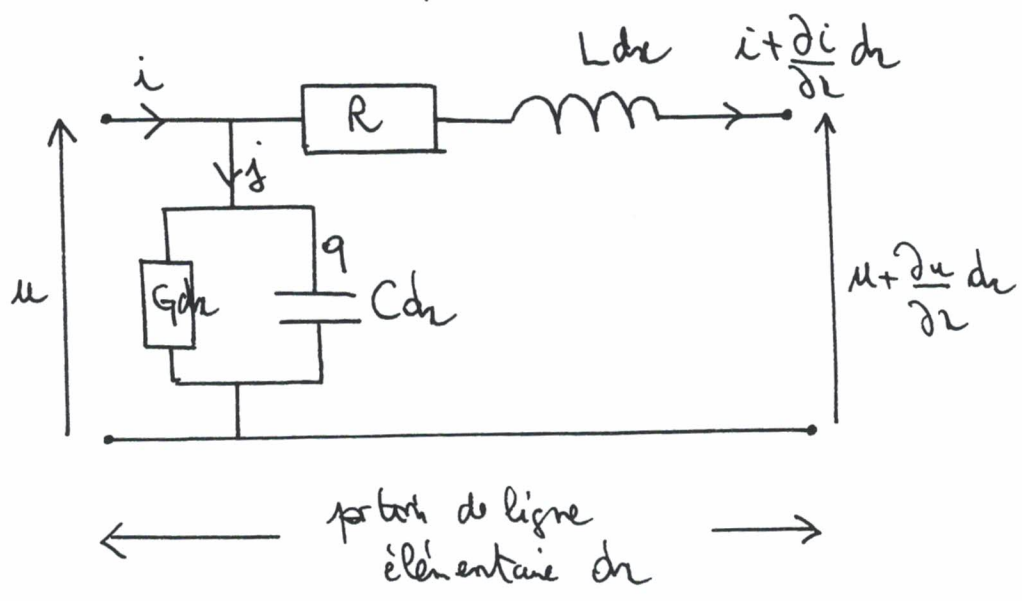
# Développement (L216) sur l'EDP dite des télégraphistes.

Le choix se justifie par le thème applicatif "Propagation des Ondes" (et l'usage de la transformation de LAPLACE, au programme de l'option Probabilités et Statistiques).

1) il s'agit d'étudier le système d'EDP

$$\begin{cases} \frac{\partial i}{\partial x} = -Gu - C \frac{\partial u}{\partial t} \\ \frac{\partial u}{\partial x} = -Ri - L \frac{\partial i}{\partial t} \end{cases}$$

qui trouve son origine dans la modélisation des lignes électriques à constantes réparties:



$$j = Gdx \cdot u + \frac{d}{dt}(Cdx \cdot u)$$

Après élimination de l'inconnue  $i(x, t)$ , on est conduit à l'EDP de type hyperbolique

$$\frac{\partial^2 u}{\partial x^2} = LC \frac{\partial^2 u}{\partial t^2} + (RC + GL) \frac{\partial u}{\partial t} + RG u$$

2) et on démontre que le problème de condition initiale

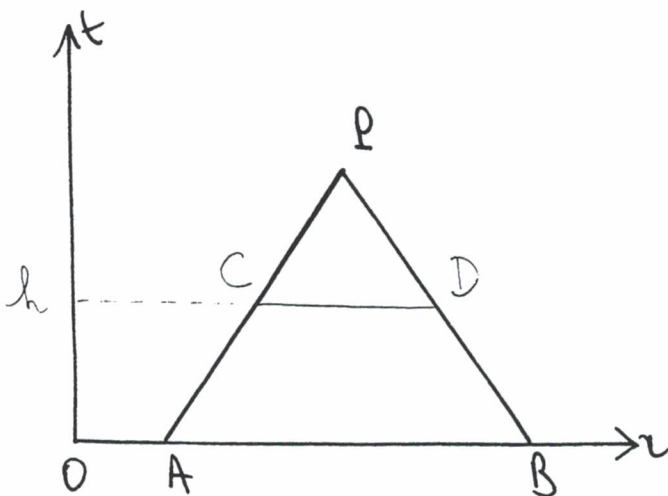
$$u(x, 0) = 0, \quad i(x, 0) = 0 \quad (\text{qui entraîne } \frac{\partial u}{\partial t}(x, 0) = 0)$$

n'admet que la solution triviale  $u = 0$  par la méthode de l'énergie, laquelle consiste à intégrer (pour  $LC = \omega_0^2 = 1$  afin de simplifier l'écriture) l'identité

$$2 \frac{\partial u}{\partial t} \cdot \left( \frac{\partial^2 u}{\partial t^2} - \frac{\partial^2 u}{\partial x^2} + (RC + GL) \frac{\partial u}{\partial t} + RG u \right) =$$

$$\frac{\partial}{\partial t} (\|\nabla u\|^2) - 2 \frac{\partial}{\partial x} \left( 2 \frac{\partial u}{\partial t} \cdot \frac{\partial u}{\partial x} \right) + 2 (RC + GL) \left( \frac{\partial u}{\partial t} \right)^2 + 2 RG u \frac{\partial u}{\partial t}$$

sur le triangle



constitue à partir d'un point courant  $P(x, t)$  en menant les parallèles  $PA$  et  $PB$  aux caractéristiques  $x \mp t = C \underline{t}$ .

On montre avec la formule de GREEN-RIEMANN en particulier que l'énergie  $E(h) = \int_{\mathbb{C}^0} \|\nabla u\|^2 dx$  obéit à l'inégalité intégrale

$$E(h) \leq C(L) \cdot \int_0^h E(t) dt$$

et, de là, on déduit que  $E = 0$ . Les calculs sont effectués dans Coustant - Hillel MMP 2 IV § 3.2.

3) pour une ligne sans pertes ( $R = G = 0$ ), on obtient la classique EDP des ondes  $\frac{\partial^2 u}{\partial x^2} = \omega_0^2 \frac{\partial^2 u}{\partial t^2}$  où  $\omega_0 = \sqrt{LC}$

et on peut résoudre le problème de conditions initiales

$$u(x, 0) = u_0(x), \quad \frac{\partial u}{\partial t}(x, 0) = v_0(x) \quad \text{données ... à l'aide de}$$

la transformée de FOURIER partielle en  $x$  qui conduit,

posant  $\hat{u}(\xi, t) = \int_{-\infty}^{+\infty} e^{-i\xi x} u(x, t) dx$  à l'EDO

$$\omega_0^2 \frac{\partial^2 \hat{u}}{\partial t^2} + 4\pi^2 \xi^2 \hat{u} = 0$$

avec les ci  $\hat{u}(\xi, 0) = \hat{u}_0(\xi), \quad \frac{\partial \hat{u}}{\partial t}(\xi, 0) = \hat{v}_0(\xi)$

qui donnent après quadrature

$$\hat{u}(\xi, t) = \hat{u}_0(\xi) \cdot \cos\left(\frac{2\pi \xi}{\omega_0} t\right) + \hat{v}_0(\xi) \cdot \frac{\sin\left(\frac{2\pi \xi}{\omega_0} t\right)}{(2\pi \xi)}$$

Le premier terme s'écrit

$$\frac{1}{2} \left( e^{i\omega_0 t} + e^{-i\omega_0 t} \right) \hat{u}_0(x)$$

qui est la transformée de Fourier de

$$\frac{1}{2} \left( u_0 \left( \cdot + \frac{t}{\omega_0} \right) + u_0 \left( \cdot - \frac{t}{\omega_0} \right) \right), \text{ tandis que le second}$$

terme faisant apparaître la fonction sincardinale  $\frac{\sin \pi \xi}{\pi \xi}$ , transformée de Fourier de la fonction rectangle  $\Delta_{\left(-\frac{1}{2}, \frac{1}{2}\right)}$ , on y reconnaît

le produit de convolution

$$v_0 * \frac{\omega_0}{2} \Delta_{\left(-\frac{t}{\omega_0}, \frac{t}{\omega_0}\right)} \left( \frac{x}{\omega_0} \right) = \int_{x - \frac{t}{\omega_0}}^{x + \frac{t}{\omega_0}} v_0(y) dy$$

Ainsi, la transformée  $\mathcal{F}$  permet-elle de déconvoluer la solution

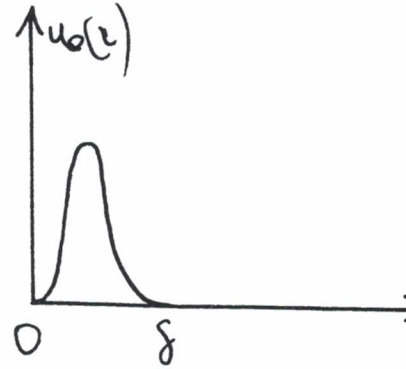
$$u(x, t) = \frac{1}{2} \left[ u_0 \left( x - \frac{t}{\omega_0} \right) + u_0 \left( x + \frac{t}{\omega_0} \right) \right] + \frac{1}{2} \omega_0 \int_{x - \frac{t}{\omega_0}}^{x + \frac{t}{\omega_0}} v_0(y) dy$$

les calculs formels précédents se justifiant maintenant au vu de leurs hypothèses sur les données initiales.

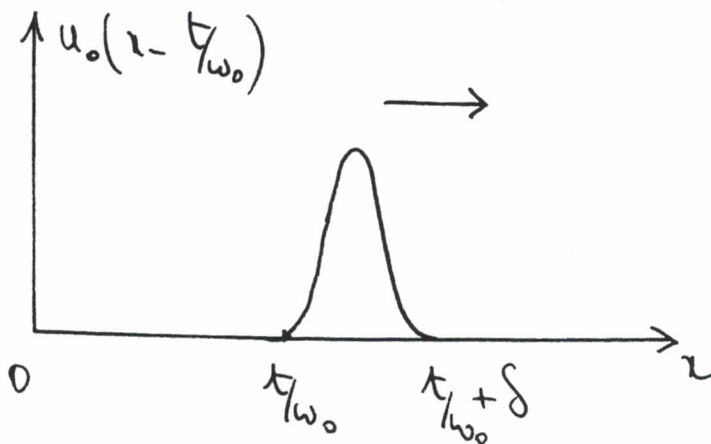
Remarque: i) Il est plus rapide d'effectuer le changement de variables  $\xi = t - \omega_0 x$  et  $\eta = t + \omega_0 x$  de lignes caractéristiques, qui transforment

l'EDP selon  $\partial^2 = 0$  de solution générale  $f(x) + g(z)$   
 et de déterminer  $f, g$  à l'aide de Ci.

ii) si, par exemple  $u_0$  a la forme



$u_0(z - t/w_0)$  représente une onde qui se propage à vitesse  $1/\sqrt{LC}$   
 ( $\approx 300.000 \text{ km/s}$  en pratique) le long de la ligne électrique, car



On trouvera une étude justifiée par une hypothèse de uniformité sur  $u$   
 dans Titchmarsh, Introduction to the theory of FOURIER  
integrals § 10.11

4) en transformant le système d'EDP avec LAPLACE  
 obtient, en supposant les Ci  $u_0, i_0$  données, le SD

ordinaire

$$\begin{cases} \frac{\partial I}{\partial z} = -GU - C(pU - u_0) \\ \frac{\partial U}{\partial z} = -RI - L(pI - i_0) \end{cases}$$



$$\tilde{I}(x, p) = \int_0^{\infty} e^{-tp} i(x, t) dt \quad \text{et} \quad \tilde{U}(x, p) = \int_0^{\infty} e^{-tp} u(x, t) dt.$$

Avec ds ci nulls, on obtient  $\frac{\partial^2 U}{\partial x^2} - \gamma^2 U = 0$  où

$$\gamma^2 = (R + Lp)(G + Cp) \quad \dots \text{de solution}$$

$$\tilde{U}(x, p) = A(p)e^{\gamma x} + B(p)e^{-\gamma x}$$

durant alors

$$\tilde{I}(x, p) = \sqrt{\frac{G + Cp}{R + Lp}} (-A(p)e^{\gamma x} + B(p)e^{-\gamma x})$$

En pratique, l'Electricien se donne une tension d'entrée  $u(0, t)$  et ferme sa ligne sur une impédance de charge  $Z(p)$ , c'est-à-dire que  $Z(p) \cdot \tilde{I}(x, p) = \tilde{U}(x, p)$  où  $l$  désigne la longueur de la ligne. On trouve ce type de calcul dans Angot, Compléments de Mathématiques § 8.4 ...

5) par exemple, pour une ligne sans perte ( $G=0$ , câble parfaitement isolé) fermée sur son impédance caractéristique

$$Z(p) = \sqrt{\frac{Lp + R}{Cp}}, \quad \text{à laquelle on applique l'échelle unité, on}$$

$$\text{est réduit à} \quad \tilde{I}(x, p) = \sqrt{\frac{C}{p(R + Lp)}} \cdot e^{-\sqrt{Cp(R + Lp)} \cdot x}$$

dont il s'agit de trouver l'originale  $i(r,t)$  : le calcul est fait dans Laurentien-Chabat, Méthodes de la théorie des fonctions d'une variable complexe Chapitre VI § 87 6)

et  $i(r,t)$  s'exprime à l'aide de la fonction de BESSEL modifiée  $I_0$

$$i(r,t) = \sqrt{\frac{C}{L}} \cdot e^{-\alpha t} \cdot I_0(\alpha \sqrt{t^2 - LCr^2}) \cdot Y(t - r\sqrt{LC})$$

où  $\alpha = \frac{R}{2L}$  et  $Y$  désigne l'icône-unité d'HEAVISIDE.

Compte-tenu du comportement asymptotique de  $I_0$ , et de  $Y$ , on assiste encore à la propagation d'une onde se déplaçant, à la même vitesse.

Ceci donne le schéma du calcul de la transformée de LAPLACE de  $I_0(\alpha \sqrt{t^2 - r^2}) \cdot Y(t - r)$  pour  $r (= \omega_0 L) > 0$ , à partir de la représentation intégrale de SONINE

$$I_0(x) = \frac{1}{2i\pi} \int_{\mathcal{D}(0;1)} e^{i \frac{x}{2} (\omega - \frac{1}{\omega})} \frac{d\omega}{\omega}$$

qui donne

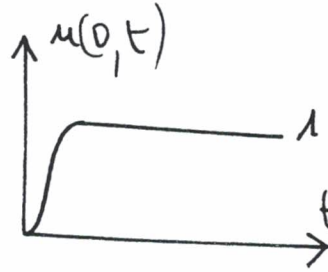
$$\frac{1}{2i\pi} \int_{\mathcal{D}(0;1)} \int_0^\infty e^{-pt} \cdot e^{i \frac{\alpha}{2} (\xi - \frac{1}{\xi}) t} dt \cdot e^{i \frac{\alpha}{2} (\xi + \frac{1}{\xi}) r} \frac{d\xi}{\xi}$$

après le "chgt de variable"  $w = \sqrt{\frac{t+z}{t-z}}$  et avec le théorème  
 FUBINI. Le théorème des résidus permet de calculer alors

$$\frac{1}{2i\pi} \int_{\gamma} \frac{e^{i\alpha z}}{p - \frac{i\alpha}{2} \left( \zeta - \frac{1}{\zeta} \right)} \cdot \frac{d\zeta}{\zeta} = \frac{2i}{\alpha} \operatorname{rés}_{\frac{i}{2}(-p + \sqrt{p^2 - \alpha^4})}$$

pour conclure.

critique: argut suppr  $u(x,0) = 0$ , il faut présenter le  
 calcul précédent comme une idéalisation de



On trouve d'autres cas d'étude de l'EDP de télégraphiste, avec  
 les éléments nécessaires au le transformée de LAPLACE dans

Goursat-Hilbert 2 III § 3. 1.215- , en particulier.

## Compléments d'Analyse pour l'Agégation:

approximation par des fonctions polynomiales, par morceaux

1) Pour une fonction  $f$  continue sur le segment  $[a, b]$ , le théorème de WEIERSTRASS assure l'existence d'une suite  $(P_n)_{n \geq 0}$  de polynômes qui converge vers  $f$  uniformément sur  $[a, b]$ . Une démonstration possible est de faire appel à l'unité approchée de LANDAU  $L_n(t) = C_n (1-t^2)^n$  sur  $[a, b] = [-1, 1]$  auquel

on a accès par translation-homéothétie si  $C_n > 0$  est tel

que  $\int_{-1}^1 L_n(t) dt = 1$ , une autre est celle de BERNSTEIN

qui sur  $[a, b] = [0, 1]$  établit que la suite

$$B_n f(t) = \sum_{k=0}^n C_n^k t^k (1-t)^{n-k} f\left(\frac{k}{n}\right)$$

converge. Il convient d'en signaler la démonstration probabiliste qui fait le lien avec le loi des grands nombres, mais il s'agit là encore d'un argument de type U.A.

On prouve le résultat à l'aide du module de continuité

$$\omega(\delta) = \sup_{|t-a| \leq \delta} |f(t) - f(a)|$$

sachant que, d'après le théorème de HEINE  $\omega(\delta) \rightarrow 0$  :  
 $\delta \rightarrow 0+$

$$|f(x) - B_n f(x)| \leq \sum_{k=0}^n C_n^k \left( \left| \frac{k}{n} - x \right| \sqrt{n+1} \right) x^k (1-x)^{n-k} \cdot \omega\left(\frac{1}{\sqrt{n}}\right)$$

avec la formule du binôme de NEWTON et le fait que

$$|f(x) - f\left(\frac{k}{n}\right)| \leq \omega\left(\left|1 - \frac{k}{n}\right|\right) \leq \left(\left|1 - \frac{k}{n}\right| \sqrt{n+1}\right) \omega\left(\frac{1}{\sqrt{n}}\right)$$

(car, en général  $\omega(\lambda \cdot \delta) \leq (\lambda+1) \omega(\delta)$  si  $\lambda > 0$ ) :

avec l'inégalité de CAUCHY-SCHWARZ, on en déduit que

$$\sup_{[0,1]} |f - B_n(f)| = \|f - B_n(f)\|_\infty \leq \frac{3}{2} \omega\left(\frac{1}{\sqrt{n}}\right).$$

2) On examine les effets du remplacement de  $f$  par  $B_n(f)$  sur l'intégration et la dérivation. Ainsi

$$\int_0^1 B_n f(x) dx = \sum_{k=0}^n f\left(\frac{k}{n}\right) C_n^k \cdot B(k+1, n-k+1)$$

apparaît comme  $\frac{1}{n+1} \sum_{k=0}^n f\left(\frac{k}{n}\right)$ , une somme de

RIEMANN de  $f$ , et conduit-elle au calcul approché de  $\int_0^1 f dx$

avec la méthode des rectangles. Si autre part, en supposant  $f$

de classe  $\mathcal{C}^1$  sur  $[0, 1]$ , on montre que

$$\|B_n(f)' - f'\|_\infty \leq \omega_{f'}\left(\frac{1}{n}\right) + \frac{3}{2} \omega_{f'}\left(\frac{1}{\sqrt{n}}\right) \leq \frac{5}{2} \omega_{f'}\left(\frac{1}{\sqrt{n}}\right).$$

en effet,

$$B_n(f)'(z) = n \sum_{k=0}^{n-1} \left( f\left(\frac{k+1}{n}\right) - f\left(\frac{k}{n}\right) \right) C_{n-1}^k z^k (1-z)^{n-1-k}$$

et on conclut avec le théorème des accroissements finis.

3) Si  $f$  est une fonction entière, un théorème de KANTOROVITCH

affirme que  $(B_n(f))$  converge vers  $f$  uniformément sur tout

compact de  $\mathbb{R}$  : si  $f(z) = \sum_{m=0}^{\infty} C_m z^m$ , comme

$$B_n(f)(z) = \sum_{k=0}^n \sum_{m \geq 0} C_m \left(\frac{k}{n}\right)^m \cdot C_n^k z^k (1-z)^{n-k}$$

$$= \sum_{m \geq 0} C_m B_n(z^m)(z)$$

où  $B_n(z^m)$  désigne le  $n^{\text{ème}}$  polynôme de BERNSTEIN de  $z^m$ ,

il s'agit de remarquer tout d'abord que  $B_n(z^m) \xrightarrow[n \rightarrow \infty]{u.c.} z^m$ .

Pour cela, on montre que  $B_n(z^m)$  est de degré  $m$  si  $n \geq m$

puis d'utiliser le fait que dans l'espace vectoriel des divendine  
 fine  $\mathbb{R}_m[X]$ , la norme de la convergence uniforme sur  $[0, 1]$   
 est équivalente à celle de la convergence uniforme sur le compact  $[-X, X]$ .

Ensuite, il faut justifier le passage à la limite, lorsque  $n \rightarrow \infty$ ,  
 sur le signe  $\sum_{m \geq 0} C_m \|B_n(x^m) - x^m\|_{\infty, X}$  en montrant qu'étant donné  $X > 0$

il existe  $A > 0$  avec  $|B_n(x^m)(x)| \leq A^m$  si  $|x| \leq X$

et pour tout  $n$  et  $m$ : on conclut alors avec le théorème de  
 convergence dominée (puisque  $\sum_{m=0}^{\infty} \|C_m (B_n(x^m) - x^m)\|_{\infty, X} \leq$

$$\sum_{m=0}^{\infty} |C_m| \cdot (A^m + X^m) < +\infty).$$

L'opérateur de BERNSTEIN  $B_n: f \mapsto B_n(f)$  est évidem-  
 -ment continu de  $\mathcal{C}^0([0, 1])$  sur  $\mathbb{R}_n[X]$  muni de  
 la norme uniforme sur  $[0, 1]$ , de norme 1 et surjectif.

4) Étant donné un espace normé  $\Phi$  et une famille libre  $\{\varphi_j\}_j$   
 de  $\Phi$ , tout élément  $f$  de  $\Phi$  possède un meilleur  
approximant linéaire  $\sum_1^n c_j \cdot \varphi_j$ , dans le sens où

$$E_n(f) = \inf_{\lambda \in \mathbb{K}^n} \left\| f - \sum_{j=1}^n \lambda_j \varphi_j \right\| \quad \text{et atteint:}$$

la fonction  $\lambda \mapsto \left\| \sum_{j=1}^n \lambda_j \varphi_j \right\|$  étant continue atteint sa borne inférieure sur la sphère unité et comme la feuille est libre, ce minimum n'est strictement positif. Alors la fonction  $F(\lambda)$  à étudier est minorée par  $n \|\lambda\|_{\mathbb{K}^n} - \|f\|$  qui tend vers  $+\infty$  avec  $\|\lambda\|_{\mathbb{K}^n}$  : ainsi, une suite minimisante est-elle bornée et on conclut par un argument de compacité.

$E_n(f)$  s'appelle l'erreur d'approximation.

Par exemple, prenant pour  $\Phi$  l'espace  $L^2(-1,1)$  par la norme de LEBESGUE, et pour  $\varphi_j(x)$  le monôme  $x^j$ , il existe pour  $f$  un polynôme de meilleure approximation quadratique de degré  $n$  donné, qui est d'ailleurs fourni par le théorème de projection de HILBERT  $\sum_{j=0}^n g_j L_j$  où  $L_j$  désigne le  $j^{\text{ème}}$  polynôme de LEGENDRE,  $g_j = \int_{-1}^1 f L_j dx$  et  $\lambda_j$  le  $j^{\text{ème}}$  coefficient de FOURIER-LEGENDRE.



Dans l'exemple précédent, il y a unicité du meilleur approximant comme plus généralement dans tout espace  $\mathbb{F}$  strictement normé (c'est-à-dire tel que  $\|f+g\| = \|f\| + \|g\|$  entraîne  $f$  et  $g$  proportionnels).

5) Considérant à nouveau l'espace  $\mathcal{C}([a,b])$  de fonctions continues sur le segment  $[a,b]$ , muni de la norme uniforme. Soit ainsi pour toute  $f$ , à  $n$  donné, un polynôme de meilleure approximation uniforme : par exemple, il existe un polynôme  $x^{n+1} - \sum_0^n g_j x^j$  réalisant

$$\inf_C \sup_{|x| \leq 1} \left| x^{n+1} - \sum_0^n g_j x^j \right|.$$

Il est facile de montrer que si  $E_n(f) = \|f - P\|_\infty$  alors  $(f - P)$  prend nécessairement les valeurs  $E_n(f)$  et  $-E_n(f)$ , et que si  $Q \in \mathcal{R}_n[X]$  est tel qu'il existe  $(n+1)$  points  $a \leq x_0 < x_1 < \dots < x_{n+1} \leq b$

avec  $(f - Q)(x_j)$  du signe de  $(-1)^j$ , alors  $E_n(f) \geq \|f - Q\|_\infty$

celui de la VALEUR - BOUSSIN, mais la démonstration du théorème de TCHEBYTCHEV disant que pour que  $P$  soit un meilleur approximant de degré  $n$ , il faut et il suffit que le segment  $[a, b]$  contienne  $(n+2)$  points avec

$$(f - P_n)(x_j) = \varepsilon (-1)^j \|f - P_n\|_\infty$$

où  $\varepsilon = +1$  ou  $-1$  redépend de  $j = 0, 1, \dots, n+1$ , et plus délicate à exposer. Du même coup, il y a unicité du meilleur approximant.

Ce n'est pas de rechercher, à titre d'exemple, le polynôme  $P = x^{n+1} - \sum_0^n c_j x^j$  qui s'écarte le moins de 0 sur le segment  $[-1, 1]$  : si  $M = E_n(x^{n+1})$ , il existe par conséquent  $(n+2)$  points  $x_j$  de  $[-1, 1]$  en lesquels  $P$  prend la valeur  $\pm M$  : si  $|x_j| < 1$ , cela entraîne  $P'(x_j) = 0$  et comme  $P'$  est de degré  $n$ , et non nul, il existe  $n$  points intérieurs au segment  $[-1, 1]$ , et  $x_0 = -1, x_{n+1} = 1$  par conséquent. Ainsi, les polynômes  $M^2 - P^2$  et  $(1-x^2)P'^2$  sont-ils proportionnels, et on aboutit à la relation

différentielle

$$M^2 - P'(x) = \frac{1}{(n+1)^2} (1-x^2) (P'(x))^2$$

qui s'intègre pour donner la forme de

$$P(x) = M \cos((n+1) \arccos x + C)$$

Comme  $T_n(x) = \cos(n \arccos x) \in \mathbb{R}_n[x]$ , on obtient finalement  $P(x) = L^{-1} \cdot T_{n+1}(x)$  où  $T_n$  désigne le n<sup>ième</sup> polynôme de TCHERBYTCHEV.

b) En travaillant avec les fonctions continues  $2\pi$ -périodiques ( $f \in C_{2\pi}^0$ ) on peut préciser  $E_n(f)$  (dont une estimation a été obtenue en 1)) en aidant des séries de FOURIER.

Si  $D_n(t) = \frac{1}{2\pi} \cdot \frac{\sin((n+1)t/2)}{\sin(t/2)}$  désigne le n<sup>ième</sup> noyau de

DIRICHLET, on note  $A_n(f) = D_n * f$ , et le noyau

de CÉSARO  $\sigma_n(f) = \frac{1}{n} (A_0(f) + \dots + A_{n-1}(f))$  s'écrit donc

sous la forme  $K_n * f$  où  $K_n(t) = \frac{1}{2\pi n} \left( \frac{\sin nt/2}{\sin t/2} \right)^2$  et

le n<sup>ième</sup> noyau de FEJER.

La suite  $(K_n)$  étant une V.A.,  $K_n * f \xrightarrow[n \rightarrow \infty]{} f$ , d'où  
 on a une approximation de  $f \in C_{\text{un}}^0$  par une suite de polynômes  
trigonométriques.

Si  $f$  est  $K$ -lipschitzienne, on montre que

$$\| \sigma_n(f) - f \|_{\infty} \leq K C \frac{\ln n}{n}, \quad n \geq 1$$

où  $C_f > 0$  dépend que de  $f$  (théorème de BERNSTEIN):

en effet,  $\sigma_n(f)(t) = \frac{1}{2\pi n} \int_{-\pi}^{\pi} f(t-\theta) \left( \frac{\sin n\theta/2}{\sin \theta/2} \right)^2 d\theta$  vaut encore

$$\frac{1}{\pi n} \int_0^{\pi/2} (f(t+2\theta) + f(t-2\theta)) \left( \frac{\sin n\theta}{\sin \theta} \right)^2 d\theta$$
 de sorte que

$$| \sigma_n(f) - f | (t) \leq \frac{1}{\pi n} \int_0^{\pi/2} | f(t+2\theta) + f(t-2\theta) - 2f(t) | \left( \frac{\sin n\theta}{\sin \theta} \right)^2 d\theta$$

$$\leq \frac{4K}{\pi n} \int_0^{\pi/2} \theta \left( \frac{\sin n\theta}{\sin \theta} \right)^2 d\theta$$

$$\leq \frac{4K}{\pi n} \cdot \frac{\pi^2}{4} \int_0^{\pi/2} \frac{\sin^2 n\theta}{\theta} d\theta$$

avec

$$\int_0^{\pi/2} \frac{\sin^2 n\theta}{\theta} d\theta = \int_0^{n\pi/2} \frac{\sin^2 t}{t} dt \leq \int_0^{\pi/2} t dt + \int_{\pi/2}^{n\pi/2} \frac{dt}{t} \leq 2 \ln n$$

pour  $n$  assez grand, ce qui permet de conclure.

En utilisant la constante de LEBESGUE

$$\| \sigma_n \|_{\mathcal{L}(C_{2\pi}^0)} = \frac{1}{2\pi} \int_{-\pi}^{\pi} \left| \frac{\sin((n+1)t/2)}{\sin t/2} \right| dt \sim \frac{4}{\pi^2} \ln n \quad (n \rightarrow \infty)$$

on obtient  $\| A_n(f) - f \|_{\infty} \leq (3 + \ln n) \cdot E_n(f)$  car  $n$   $T_n$

est un meilleur approximant de  $f$  de degré  $n$ , on a

$$\| A_n(f) - f \|_{\infty} \leq \| A_n(f) - A_n(T_n) \|_{\infty} + \| T_n - f \|_{\infty}$$

en utilisant le fait que  $A_n(T_n) = T_n$ , ce qui donne le

majorant  $(\| A_n \| + 1) \cdot E_n(f)$  recherché.

Le noyau de la VALEUR-POUSSIN

$$V_n = \frac{1}{n} (D_n + \dots + D_{2n-1})$$

$$= 2 \cdot K_{2n} - K_n$$

explique les avantages de  $D_n$  et de  $K_n$ , à savoir :

•  $V_n(C_{2n-1}) \subset C_{2n-1}$  espace des polynômes trigonométriques de degré au plus  $(2n-1)$

$$\bullet V_n * f \xrightarrow[n \rightarrow \infty]{} f$$

$$\|V_n^*\| \leq 3$$

et il en résulte que

$$\|V_n^* f - f\|_\infty \leq 4 \cdot E_n(f)$$

Par exemple, l'étude du développement de  $|\cos t|$  montre que

$$V_n^* f(x) \geq \frac{C}{2n}$$

et on en déduit que  $E_n(|x|) \geq \frac{C}{8n}$  tandis que

$$|A_n(f) - f| = \frac{4}{\pi} \sum_{k > \lfloor \frac{n}{2} \rfloor} (-1)^k \frac{\cos 2kt}{4k^2 - 1} \leq \frac{C}{n}$$

qui entraîne par  $|x|$  une approximation par les polynômes de TCHEBYTCHEV d'ordre  $\frac{C}{n}$ .

7) Le noyau de JACKSON  $J_n(t) = \frac{1}{2n} \left( \frac{\sin nt/2}{\sin t/2} \right)^4$  car

$$J_n = \frac{1}{2\pi} \int_{-\pi}^{\pi} \left( \frac{\sin nt/2}{\sin t/2} \right)^4 dt = \frac{1}{3} n(2n+1) \quad \text{et une U.A. telle}$$

que

$$|J_n^* f - f|(x) \leq (1 + 3\frac{\pi}{2}) \cdot \omega\left(\frac{1}{n}\right)$$

et il en résulte que  $E_n(f) \leq 12 \cdot \omega\left(\frac{1}{n}\right)$ .

8) Ainsi, pour venir à  $f \in C^0([a, b])$ , a-t-on

$$E_n(f) \leq C \omega\left(\frac{b-a}{n}\right)$$

et, pour diminuer l'erreur, on peut soit augmenter le degré, soit commencer par subdiviser le segment  $[a, b]$ , cette dernière solution conduisant à l'approximation polynomiale par morceaux.

Ainsi, une vieille méthode de tracé de belles courbes consistait-elle à forer une latte de bois de part et d'autre de plots fixes, et selon le théorème de l'élasticité, on résolvait pratiquement le problème d'éxtremum

$$\inf_{\substack{f(x_j) = y_j \\ 0 \leq j \leq n}} \int_a^b \frac{(f''(x))^2}{(1 + (f'(x))^2)^{5/2}} dx.$$

Pour simplifier, on étudie ici le problème simplifié

$$\inf_{\substack{f(x_j) = y_j \\ 0 \leq j \leq n}} \int_a^b (f''(x))^2 dx$$

ce qui va introduire la notion d'approximation spline cubique par morceaux.

Le problème  $\inf_{\substack{f(0)=y_0 \\ f(1)=y_1 \\ f \in \mathcal{C}^4([0,1])}} \int_0^1 (f''(x))^2 dx$  admet la solution évidente

$f$  affine, et on présente sa résolution par le Calcul des variations qui prouve au cas général :

il s'agit donc de minimiser la fonctionnelle

$$J(f) = \int_0^1 (f''(x))^2 dx$$

où  $f$  est soumise aux contraintes indiquées et, si  $\varphi \in \mathcal{C}^4([0,1])$

s'annule en 0 et 1, on doit avoir

$$\left. \frac{d}{d\varepsilon} J(f + \varepsilon\varphi) \right|_{\varepsilon=0} = 0$$

soit  $\int_0^1 f''\varphi'' dx = 0$ . On conclut alors à la forme de

$f$  par le lemme de du Bois-REYMOND dont la version



élémentaire s'écrivent ainsi :

si  $\int_0^1 f' \varphi' dx = 0$  pour toute fonction  $\varphi$  de classe  $\mathcal{C}^1$  sur  $[0, 1]$   
avec  $\varphi(0) = \varphi(1) = 0$ ,  $f$  est alors constante.

en effet, en posant  $\varphi(x) = \int_0^x (f - \bar{f}) dt$  où  $\bar{f} = \int_0^1 f dx$   
désigne la valeur moyenne de  $f$ , on obtient  $\int_0^1 (f - \bar{f})^2 dx = 0$

et la conclusion suit.

Pour le cas qui nous intéresse, on introduit la fonction d'essai

$$\varphi(x) = \int_0^x \left( \int_0^u (f''(\xi) - (a + b\xi)) d\xi \right) du$$

qui est bien de classe  $\mathcal{C}^2$  sur  $[0, 1]$ , et où on veut même

se voir  $\varphi(1) = 0$  soit la condition

$$\int_0^1 \int_0^u (f''(\xi) - (a + b\xi)) d\xi du = 0. \quad \text{On a ainsi}$$

$$\int_0^1 f''(x) \cdot (f''(x) - (a + bx)) dx = 0, \quad \text{de sorte qu'en intégrant}$$

en outre  $\int_0^1 (a+bx) (f''(x) - (a+bx)) dx = 0$ , on peut écrire

Ainsi une extrémale  $f$  doit-elle être cubique sur  $[0, 1]$ : dès lors une intégration par parties est possible qui donne

$$\int_0^1 f'' \varphi'' dx = f'' \varphi' \Big|_0^1 - f''' \int_0^1 \varphi' dx$$

donc

$$f''(1) \cdot \varphi'(1) - f''(0) \cdot \varphi'(0) = 0$$

relation devant être valable pour toute fonction d'essai, et entraînant naturellement  $f''(0) = f''(1) = 0$  donc  $f''' = 0$

9) On étudie maintenant le problème d'extremum

$$\inf \int_0^1 (f''(x))^2 dx$$

$f(x_j) = y_j$   
 $0 \leq j \leq n$   
 $f \in C^2([0, 1])$

La méthode d'Euler précédente montre que, si  $f$  est la solution, on doit aussi en particulier

$$\int_0^1 f''\varphi'' dx = 0 \quad \text{si } \varphi \in \mathcal{C}^2([0,1]) \text{ avec } \varphi(y_j) = \varphi(y_{j+1}) = 0$$

et  $\varphi = 0$  en dehors de  $[y_j, y_{j+1}]$ , de sorte que  $f$  doit être cubique sur  $[y_j, y_{j+1}]$ ,  $j=0, 1, \dots, n-1$ . Alors, on a

$$\begin{aligned} \int_0^1 f''\varphi'' dx &= \sum_0^{n-1} \int_{y_j}^{y_{j+1}} f''\varphi'' dx \\ &= \sum_0^{n-1} (f''\varphi' - f'''\varphi) \Big|_{y_j}^{y_{j+1}} \end{aligned}$$

où  $\varphi(y_j) = 0$  pour tout  $j$ , qui conduit à la relation

$$f''(1) \cdot \varphi'(1) - f''(0) \cdot \varphi'(0) = 0$$

entraînant la condition limite naturelle

$$f''(0) = f''(1) = 0.$$

Comme on a  $J(f + \varepsilon\varphi) = J(f) + 2\varepsilon \int_0^1 f''\varphi'' dx + \varepsilon^2 J(\varphi)$

il est facile de voir que  $f$  cubique par morceaux, et vérifiant cette condition limite est bien extrémale.

La détermination de  $f$  nécessite la connaissance de  $4n$  coefficients, les contraintes imposant

. 3.( $n-1$ ) conditions de raccordement à l'ordre 2 en

$x_1, \dots, x_{n-1}$

. ( $n+1$ ) conditions d'interpolation

et les 2 conditions limite naturelles, ce qui donne un système de  $4n$  équations linéaires qui se résout par balayage.

### lectures:

1) à 8) NATANSON      Konstruktive Funktionentheorie  
Akademie Verlag 1971

5) et 8) BAKHVALOV      Elements d'Analyse Numérique  
Ed. MIR

5) à 7) LORENTZ      Approximation of functions

AHLBERG-NIELSEN-WALSCH      The theory of splines and their

8) application

CIARLET      Introduction à l'Analyse Numérique matricielle

et à l'optimisation (§ 3.7)

ROMBALDI      Problèmes corrigés d'Analyse Numérique (PL n° 3)

